



# Tepelné napětí v meteoroidech

David Čapek<sup>1</sup> a David Vokrouhlický<sup>2</sup>

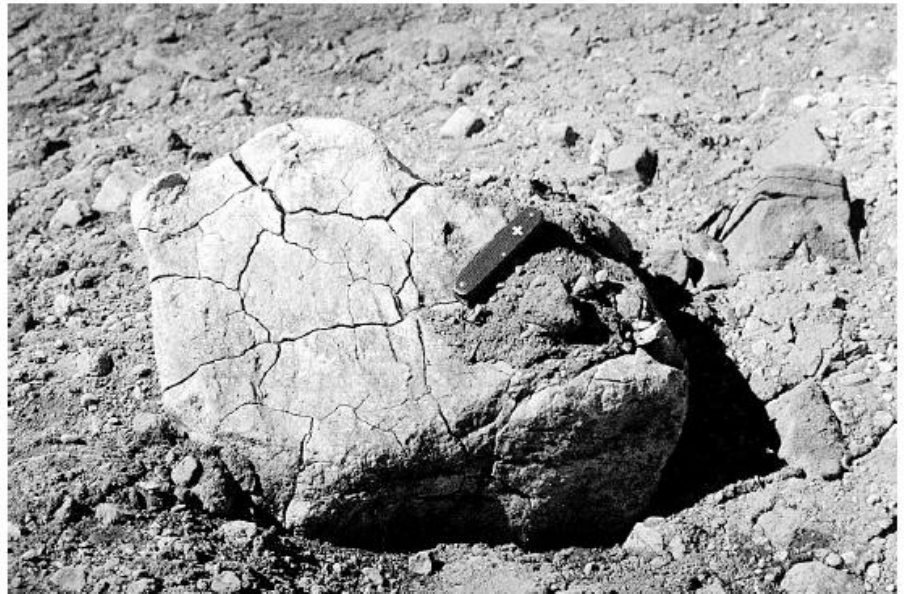
1 - Astronomický ústav AV, Ondřejov,  
2 - Astronomický ústav Univerzity Karlovy

# Tepelné napětí - pozemské příklady



Pukání a loupání povrchu balvanů v pouštích díky prudkým změnám teplot

převzato z Bouček, B. a Kodým, O., 1958: Všeobecná geologie



Pukliny způsobené tepelným napětím v chladných aridních oblastech

$$dT/dt > 2^{\circ}\text{C}/\text{min}$$

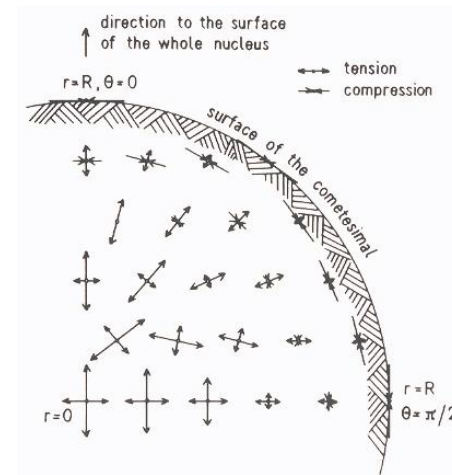
převzato z Hall, K., 1999, *Geomorphology* 31, 47-53

Fig. 1. Examples of fracture patterns, thought to be due to thermal stress, found on a rock at 4000 m altitude in the Argentinean Andes.

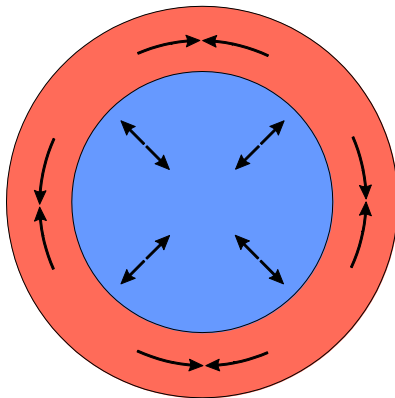
# Tepelné napětí v malých tělesech sluneční soustavy

## • Jádra komet

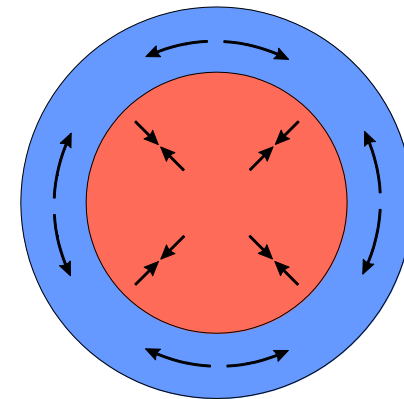
- pukliny na povrchu
- rozštěpení celého jádra
- vysvětlení častějších rozpadů po průchodu perihelium



Tauber, F. and Kührt, E., 1987, *Icarus* **69**, 87-90



Ohřev – povrch namáhán tlakem, jádro tahem



Chladnutí – povrch namáhán tahem, jádro tlakem

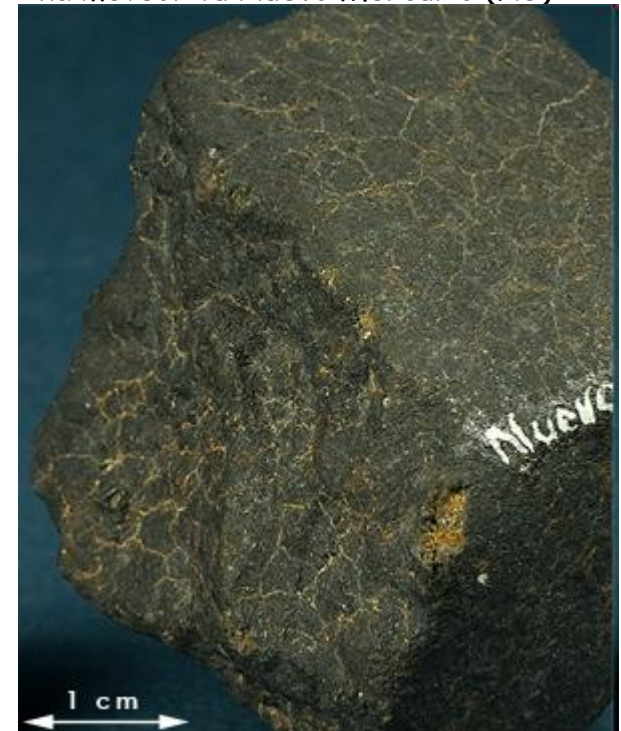
# Tepelné napětí - malá tělesa sluneční soustavy

- **Meteoroidy na parabolických drahách**  
(Shestakova & Tambovtseva, 1999)
  - destrukce velkých meteoroidů v blízkosti Slunce
  - menší tělesa jsou „izotermální“
- **Meteoroidy při průletu ovzduším**

odprýskávání povrchu při letu po temné dráze



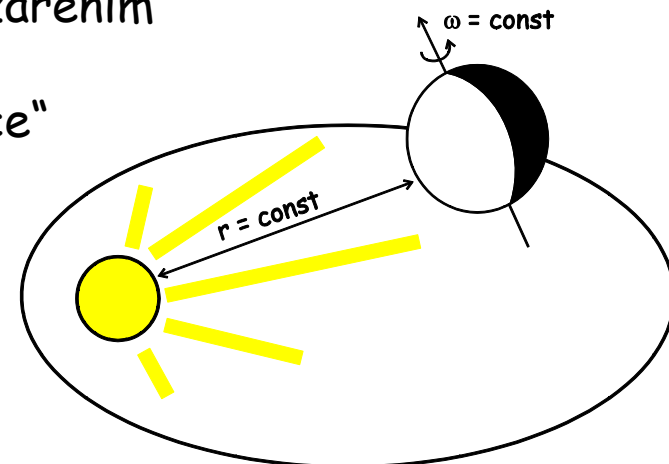
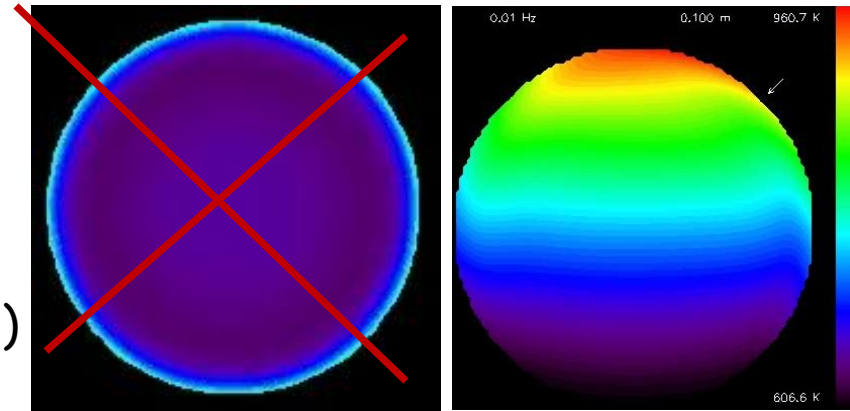
sít' kontrakčních trhlin v kůrce tavení  
na meteoritu Nuevo Mercurio (H5)



# Tepelné napětí v meteoroidech - předpoklady našeho modelu

Cíl: Analytické vyjádření tenzoru napětí v malých meteoroidech bez omezujícího předpokladu radiální symetrie.

- kulový tvar (ale ne sfér. sym. T)
- materiál:
  - homogenní izotropní
  - elastické deformace (Hookův zákon)
- jednoduchá rotace
- teplota
  - ohřev (**neizotropní!**) dopadajícím slunečním zářením
- neměnná heliocentrická vzdálenost a „výška slunce“
  - velikost menší než pár metrů



# Rovnice vedení tepla

- kontinuum bez deformací :

$$\rho c_v \frac{\partial T}{\partial t} = K \Delta T + Q$$

... parabolická pdr 2. řádu,  
 $\rho$ ... hustota ( $\text{kg m}^{-3}$ ),  
 $c_v$ ... měrná tepelná kapacita ( $\text{J kg}^{-1}\text{K}^{-1}$ ),  
 $K$ ... tepelná vodivost ( $\text{W m}^{-1}\text{K}^{-1}$ ).  
 $Q$ ... produkce tepla ( $\text{W m}^{-3}$ ).

- homogenní kontinuum bez vnitřních zdrojů tepla:

$$\rho c_v \frac{\partial T}{\partial t} = K \Delta T$$

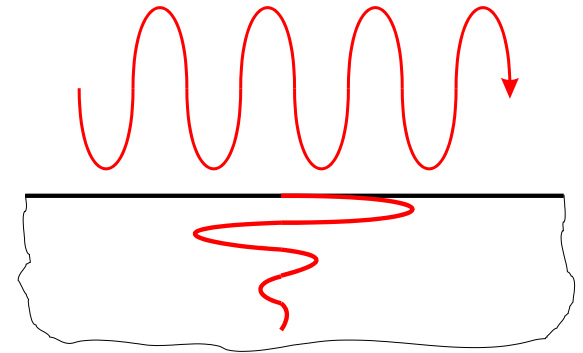
- počáteční podmínka:  $T(t = \tau, \mathbf{r}) = f_1(\mathbf{r})$
- periodická okrajová podmínka:  $T(t, \mathbf{r}) = T(t + P, \mathbf{r})$
- Dirichletova okrajová podmínka:  $T(t, \mathbf{r}) = f_2(t, \mathbf{r})$
- Neumannova okrajová podmínka:  $\nabla T(t, \mathbf{r}) = f_3(t, \mathbf{r})$
- smíšené a další okrajové podmínky...

# Hloubka průniku variací teploty

- Příklad - šíření tepla v polonekonečném prostoru

$$\rho c \frac{\partial T}{\partial t} = K \frac{\partial^2 T}{\partial z^2}$$

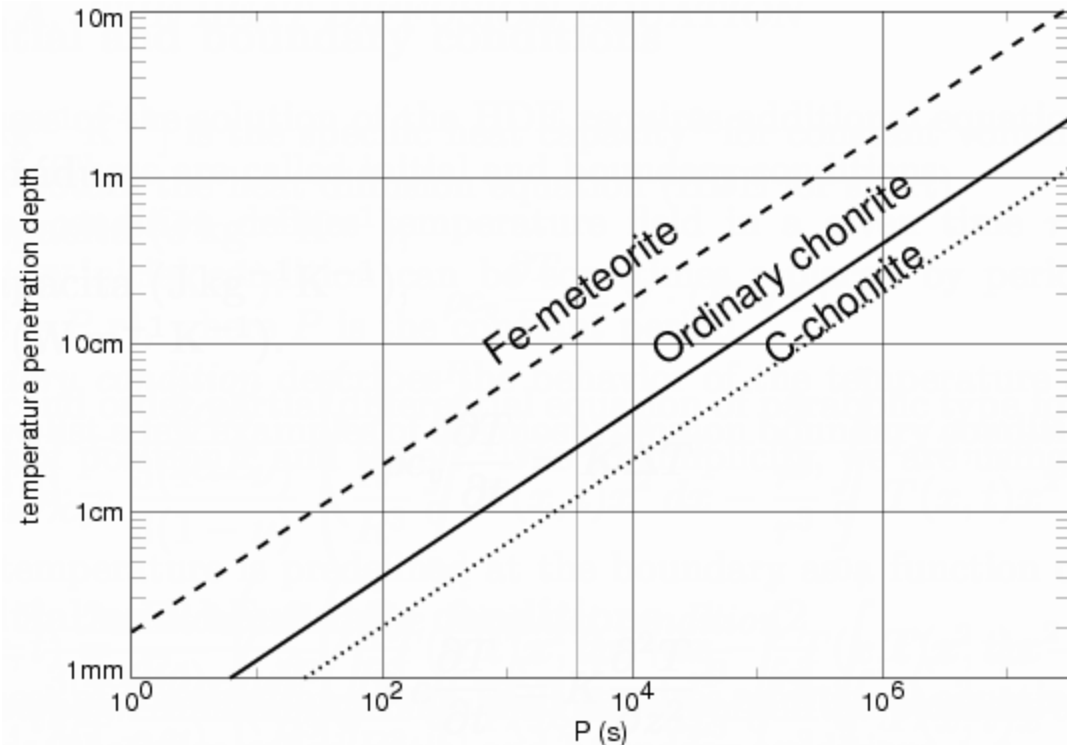
$$T(z=0, t) = T_0 \exp(i\Omega t)$$



- řešení:  $T(z, t) = T_0 e^{-z/\ell} e^{i(\Omega t + z/\ell)}$

$$\ell = \sqrt{\frac{2K}{\rho c \Omega}}$$

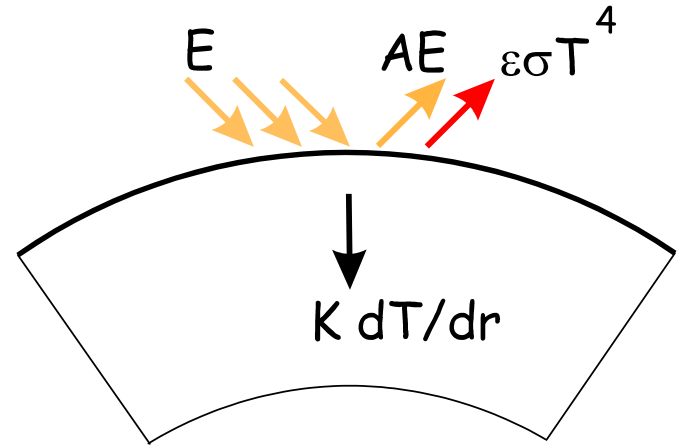
- hloubky průniku teplot. variací  
v O-chondritu pro různé  
periody: 1s...0.4mm, 10s...1.3mm,  
1h...24mm, 1rok...2.27m



# Teplota meteoroidů v meziplanet. prostoru

- Okrajová podmínka - ZZE na povrchu:

$$K \frac{\partial T}{\partial r} + \epsilon \sigma T^4 = (1 - A) \mathcal{E}.$$



- nelineární rovnice ( $T^4$ ), provádí se její linearizace:  $T = T_{av} + \delta T$ ,  $\delta T \ll T$

$$T^4 \simeq T_{av}^4 + 4T_{av}^3 \delta T$$

- hledáme  $\delta T$ ...

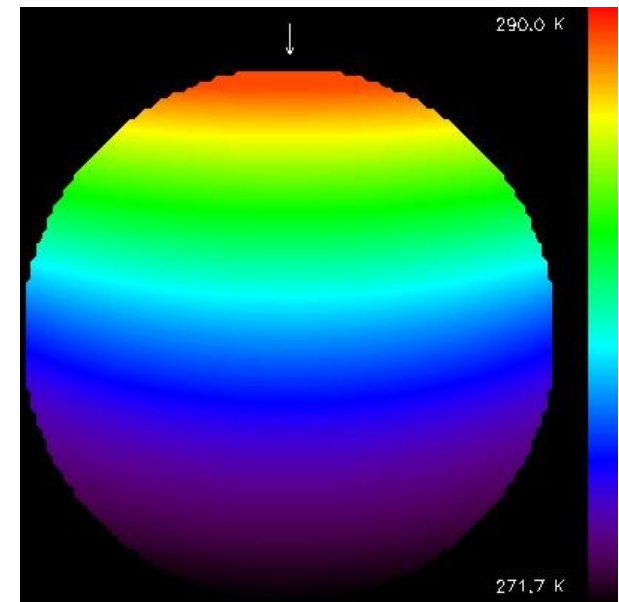
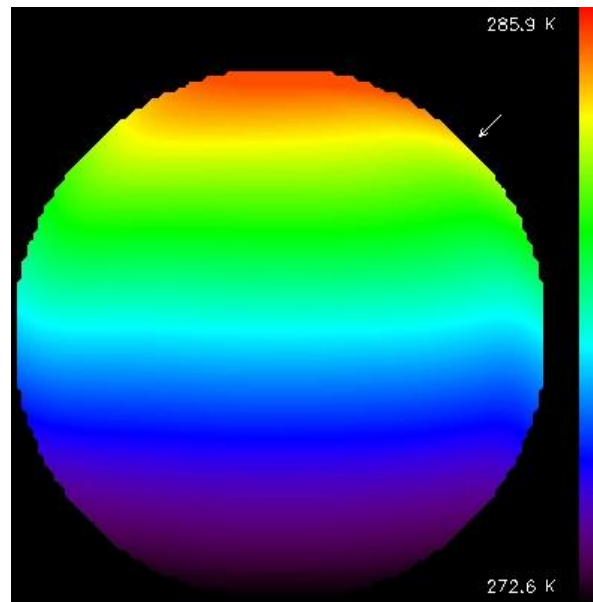
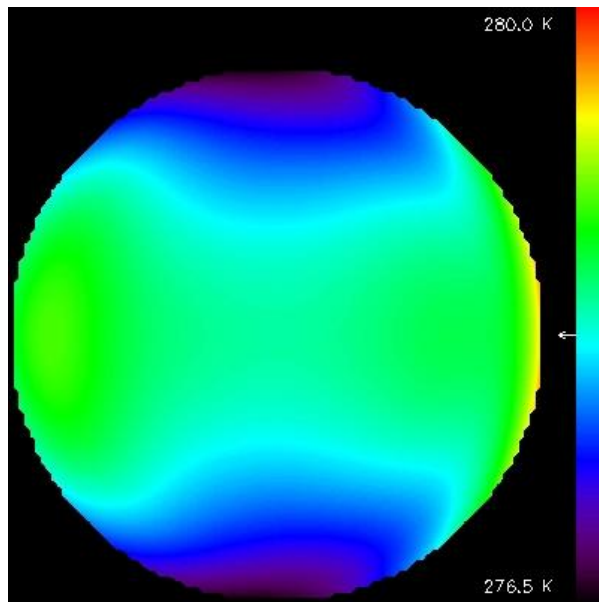
- linearizované analytické řešení rovnice vedení tepla: Vokrouhlický, 1998, A&A 335

- teplota má tvar: 
$$T(t, r, \vartheta, \varphi) = T_{av} + \sum_{n=1}^{\infty} \sum_{k=-n}^n c_{nk}(r) \exp(ik\omega t) Y_{nk}(\vartheta, \varphi),$$

kde  $Y_{nk}$  jsou „kulové funkce“.

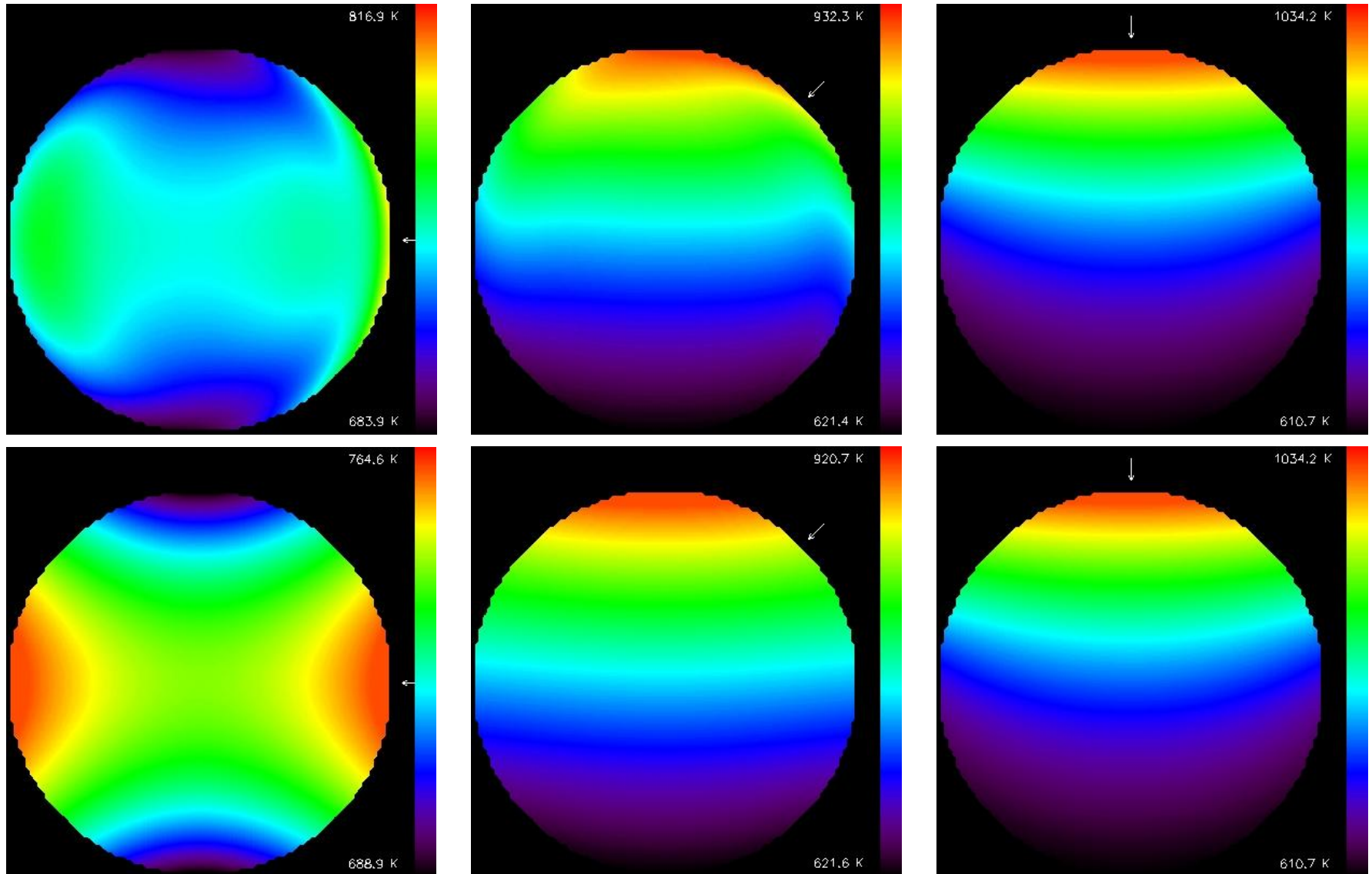
# Teplota meteoroidů v meziplanet. prostoru - příklady

- heliocentrická vzdálenost: 1 AU
- průměr: 10cm
- frekvence: **0,01Hz**
- různé výšky Slunce



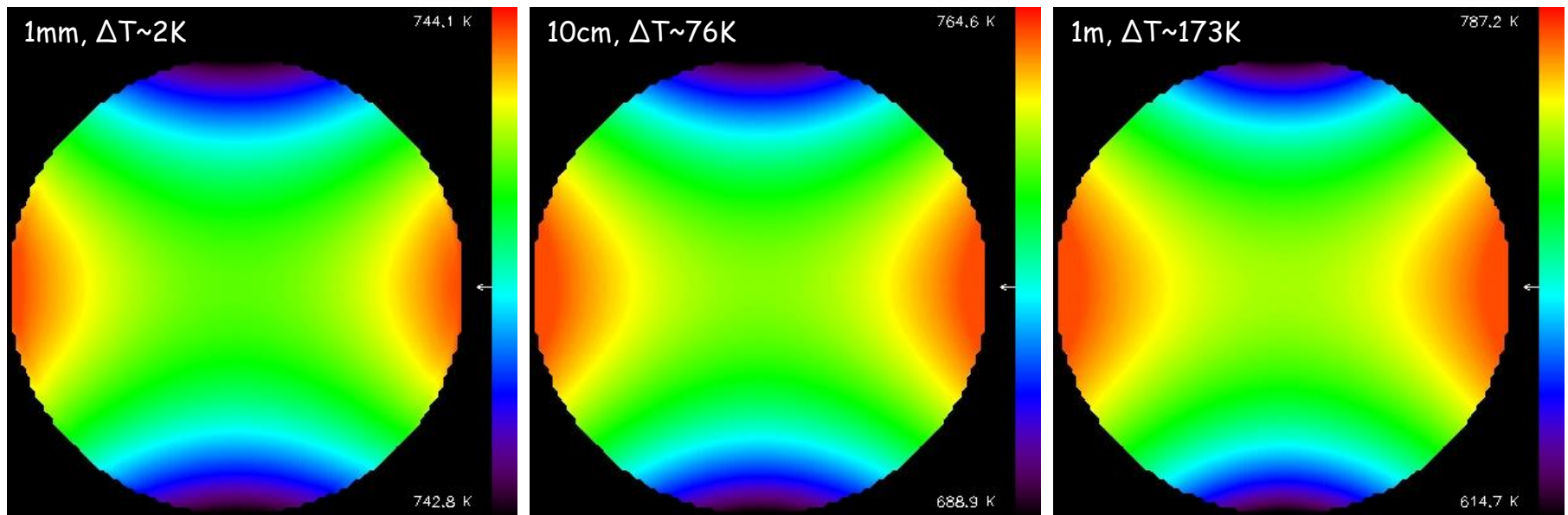
# Teplota meteoroidů v meziplanet. prostoru - příklady

- heliocentr. vzdálenost: 0,14 AU, průměr: 10cm, frekvence: 0,01Hz, nebo 30Hz



# Teplota meteoroidů v meziplanet. prostoru - příklady

- Různé velikosti těles



# Rovnice mechaniky kontinua

- tenzor malých deformací (symetrický, 2. řádu, 6 nezávislých složek):

$$\varepsilon_{ij} = \frac{1}{2} \left( \frac{\partial u_i}{\partial x_j} + \frac{\partial u_j}{\partial x_i} \right) \quad \boldsymbol{\varepsilon} = \frac{1}{2} [\nabla \mathbf{u} + (\nabla \mathbf{u})^t],$$

u... vektor posunutí

- Hookův zákon - lineární vztah mezi tenzorem napětí a tenzorem malých deformací. Pro izotropní kontinuum:

$$\tau_{ij} = \lambda \delta_{ij} \varepsilon + 2\mu \varepsilon_{ij} \quad \boldsymbol{\tau} = \lambda (\nabla \cdot \mathbf{u}) \mathbf{1} + 2\mu \boldsymbol{\varepsilon}$$

$\varepsilon$ ... stopa tenzoru malých deformací

$\lambda, \mu$ ... Lamého parametry (Pa)

- deformace způsobené variacemi teploty:

$$\varepsilon_{ij}^t = \delta_{ij} \alpha (T - T_0)$$

$\alpha$ ... lineární koeficient teplotní roztažnosti ( $\text{K}^{-1}$ )

- zobecněný Hookův zákon:

$$\tau_{ij} = \lambda \delta_{ij} \varepsilon + 2\mu \varepsilon_{ij} - \alpha (3\lambda + 2\mu) (T - T_0) \delta_{ij} \quad \boldsymbol{\tau} = \lambda (\nabla \cdot \mathbf{u}) \mathbf{1} + 2\mu \boldsymbol{\varepsilon} - \alpha (3\lambda + 2\mu) (T - T_0) \mathbf{1},$$

# Rovnice mechaniky kontinua

- dosazením do pohybové rovnice kontinua obdržíme **Duhamel-Neumannovu rovnici** umožňující určit vektor posunutí  $\vec{u}$ :

$$\mu\Delta\vec{u} + (\lambda + \mu)\nabla\nabla \cdot \vec{u} - \alpha(3\lambda + 2\mu)\nabla T + \vec{f} = \rho\ddot{\vec{u}}$$

- okrajová podmínka (volný povrch tělesa):

$$\boldsymbol{\tau} \cdot \boldsymbol{e}_n = \mathbf{0},$$

$\boldsymbol{e}_n$ ... vnější normála k povrchu tělesa

- Lze dokázat, že:  $\nabla T = \text{konst.} \dots \tau_{ij} = 0$

# Řešení Duhamel-Neumannových rovnic

- předp. kulové těleso, volný povrch, žádné vnější síly

$$\left[ \mu \Delta \vec{u} + (\lambda + \mu) \nabla \nabla \cdot \vec{u} - \alpha (3\lambda + 2\mu) \nabla T + \cancel{\vec{f}} = \rho \ddot{\vec{u}} \right]$$

- rozklad vektoru posunutí do sférických harmonik:

$$\mathbf{u} = \sum_{n=0}^{\infty} \sum_{k=-n}^n (\mathbf{u}_{nk}^S + \mathbf{u}_{nk}^T) \exp(ik\omega t),$$

$$\mathbf{u}_{nk}^S = \begin{pmatrix} U_{nk}(r) \\ V_{nk}(r) \frac{\partial}{\partial \theta} \\ V_{nk}(r) \frac{1}{\sin \theta} \frac{\partial}{\partial \phi} \end{pmatrix} Y_{nk}(\theta, \phi),$$

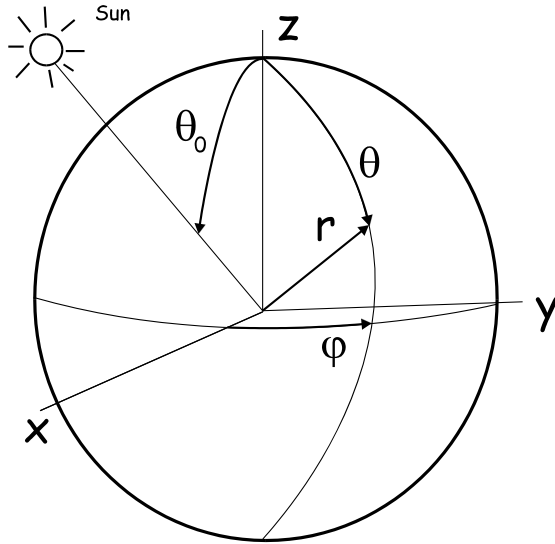
$$\mathbf{u}_{nk}^T = W_{nk}(r) \begin{pmatrix} 0 \\ -\frac{1}{\sin \theta} \frac{\partial}{\partial \phi} \\ \frac{\partial}{\partial \theta} \end{pmatrix} Y_{nk}(\theta, \phi)$$

- Dosadíme do Duhamel-Neumannovy rovnice a hledáme funkce  $U_{nk}(r)$  a  $V_{nk}(r)$

$$\begin{aligned} & (\lambda + 2\mu) r^2 \frac{d^2}{dr^2} U_{nk}(r) + 2(\lambda + 2\mu) r \frac{d}{dr} U_{nk}(r) \\ & - n(n+1)(\lambda + \mu) r \frac{d}{dr} V_{nk}(r) + n(n+1)(\lambda + 3\mu) V_{nk}(r) \\ & - \left[ 2(\lambda + 2\mu) + \mu n(n+1) - k^2 \omega^2 r^2 \rho \right] U_{nk}(r) \\ & = \alpha (3\lambda + 2\mu) r^2 \frac{d}{dr} T_{nk}(r), \end{aligned}$$

$$\begin{aligned} & \mu r^2 \frac{d^2}{dr^2} V_{nk}(r) + 2\mu r \frac{d}{dr} V_{nk}(r) + (\lambda + \mu) r \frac{d}{dr} U_{nk}(r) \\ & - \left[ n(n+1)(\lambda + 2\mu) - k^2 \omega^2 r^2 \rho \right] V_{nk}(r) \\ & + 2(\lambda + 2\mu) U_{nk}(r) = \alpha (3\lambda + 2\mu) r T_{nk}(r). \end{aligned}$$

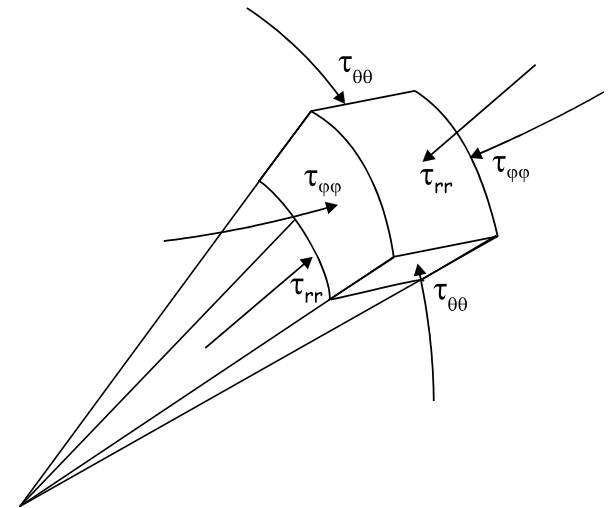
# Tenzor (tepelného) napětí



$$\begin{pmatrix} \tau_{rr}, & \tau_{r\theta}, & \tau_{r\phi}, \\ \tau_{r\theta}, & \tau_{\theta\theta}, & \tau_{\theta\phi}, \\ \tau_{r\phi}, & \tau_{\theta\phi}, & \tau_{\phi\phi} \end{pmatrix}$$

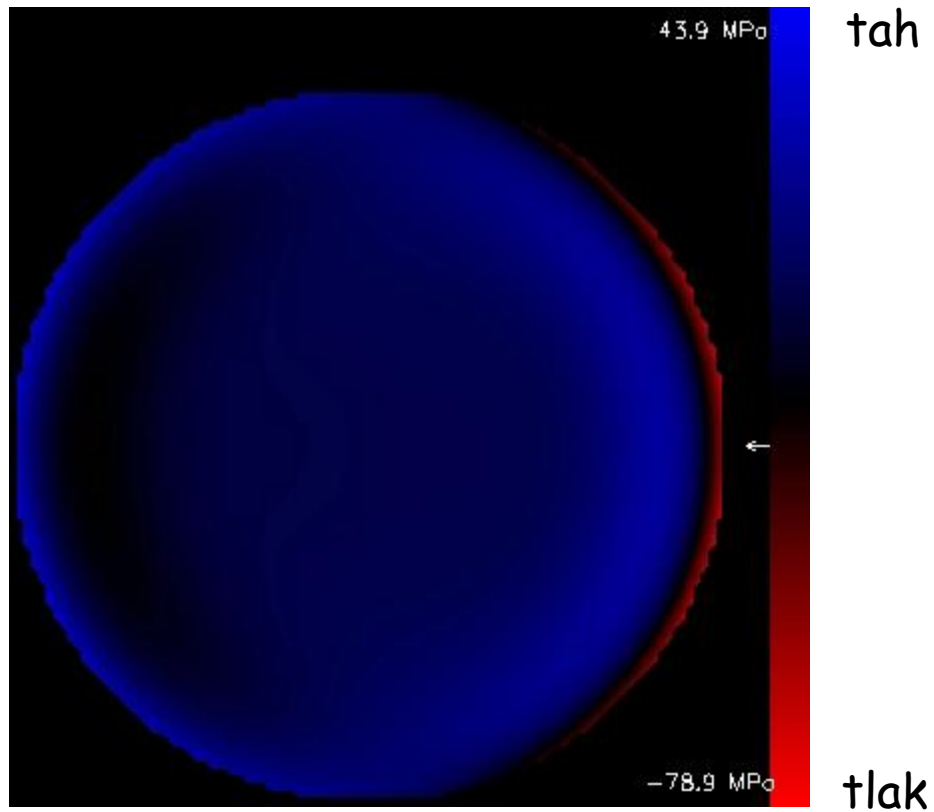
$$\tau_{ij} = \sum_{n=1}^{\infty} \sum_{k=-n}^n f_{nk}^{ij}(r) \exp(ik\omega t) Y_{nk}(\theta, \phi)$$

$$f_{nk}^{ij} \sim r^n, j_n(z_k)$$



# Stopa tenzoru (tepelného) napětí

stopa tenzoru napětí ~ tlak/tah

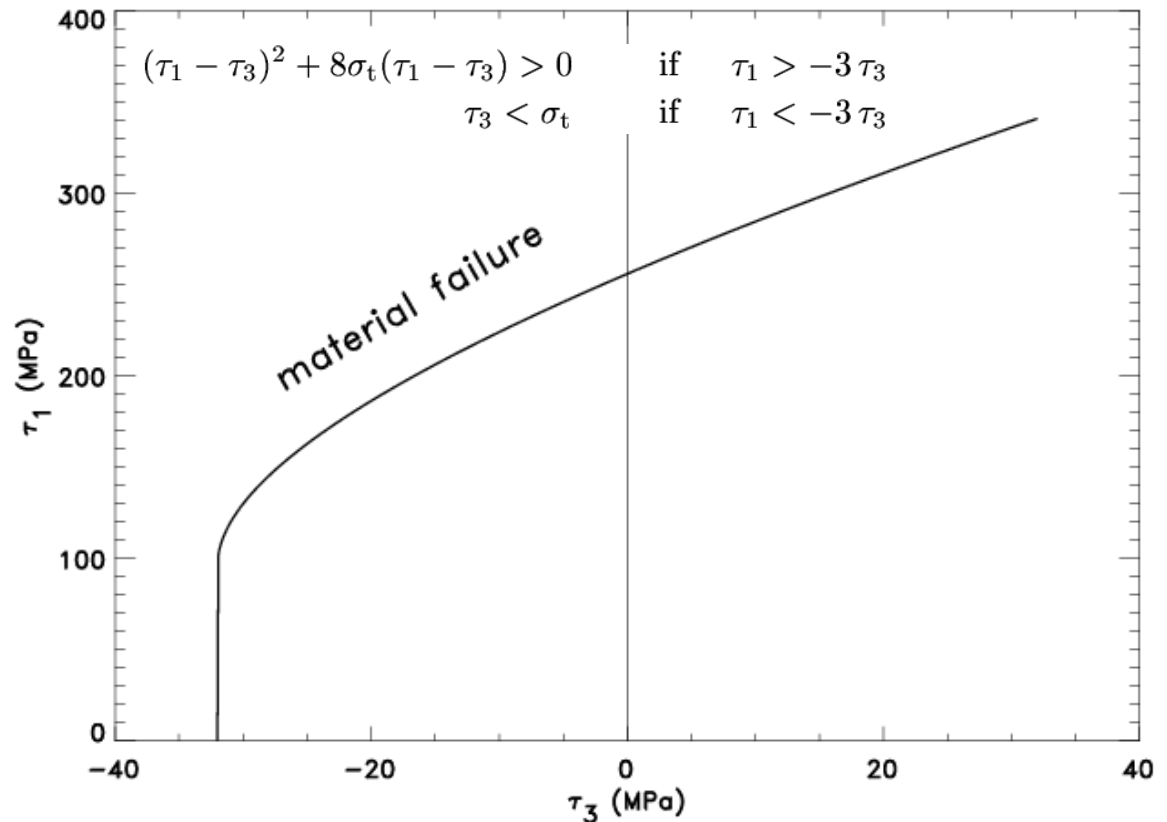


# Podmínka křehkého porušení materiálu: Griffithovo kritérium

$$\begin{pmatrix} \tau_{rr}, & \tau_{r\theta}, & \tau_{r\phi}, \\ \tau_{r\theta}, & \tau_{\theta\theta}, & \tau_{\theta\phi}, \\ \tau_{r\phi}, & \tau_{\theta\phi}, & \tau_{\phi\phi} \end{pmatrix} \rightarrow \begin{pmatrix} \tau_1, & 0, & 0, \\ 0, & \tau_2, & 0, \\ 0, & 0, & \tau_3 \end{pmatrix}, \quad \tau_1 \geq \tau_2 \geq \tau_3$$

V praxi většinou  
testujeme:

$$\tau_3 > \sigma_P$$



# Materiálové parametry - pokojová teplota

## 1. Obyčejný chondrit (~ Putulsk H5)

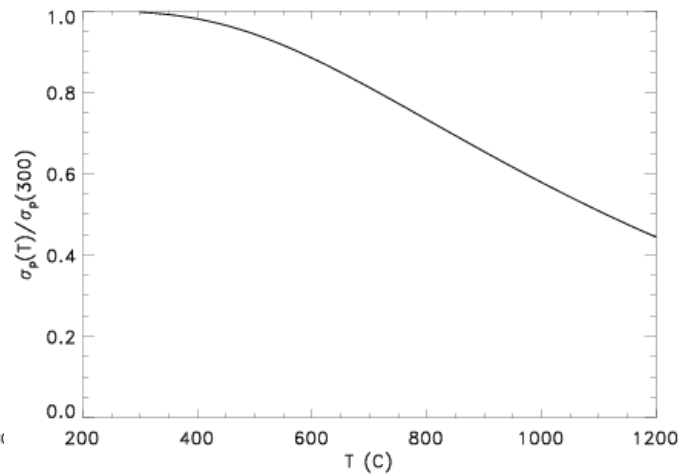
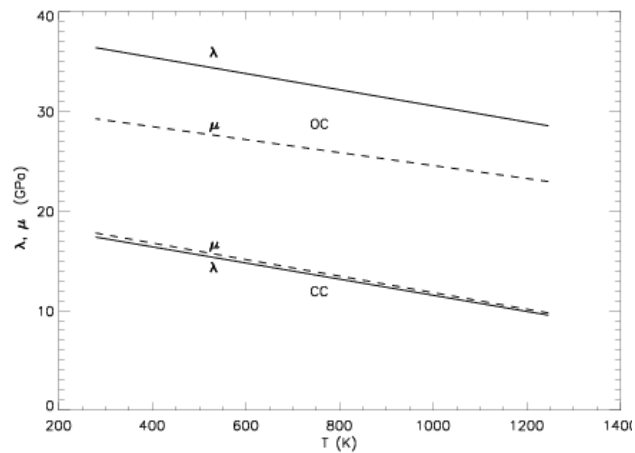
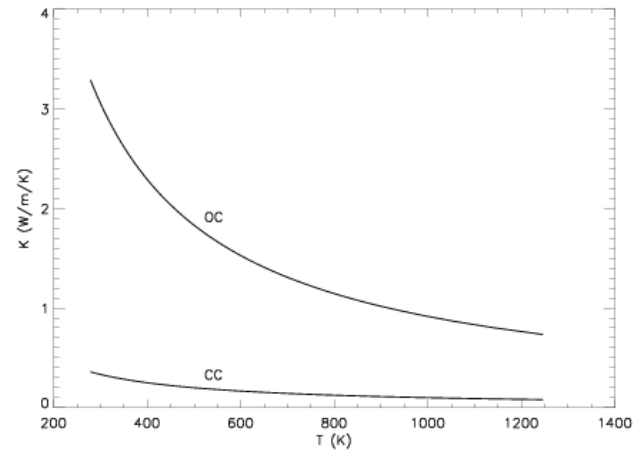
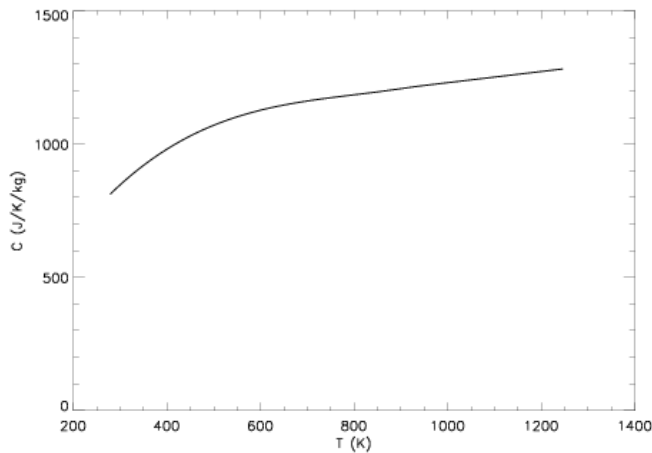
$$\begin{aligned}\rho &= 3560 \text{ kg m}^{-3} \\ \lambda &= 36.2 \text{ GPa} \\ \mu &= 29.1 \text{ GPa} \\ K &= 3.05 \text{ W m}^{-1}\text{K}^{-1} \\ \sigma_T &= -32 \text{ MPa} \\ \alpha &= 8.49 \times 10^{-6} \text{ K}^{-1} \\ c &= 847 \text{ J K}^{-1}\text{kg}^{-1}\end{aligned}$$

## 2. Uhlíkatý chondrit (~ Axtell CV3, Cold Bokkeveld CM2)

$$\begin{aligned}\rho &= 2260 \text{ kg m}^{-3} \\ \lambda &= 17.2 \text{ GPa} \\ \mu &= 17.6 \text{ GPa} \\ K &= 0.5 \text{ W m}^{-1}\text{K}^{-1} \\ \sigma_T &= -2 \text{ MPa} \\ \alpha &= 8.49 \times 10^{-6} \text{ K}^{-1} \\ c &= 847 \text{ J K}^{-1}\text{kg}^{-1}\end{aligned}$$

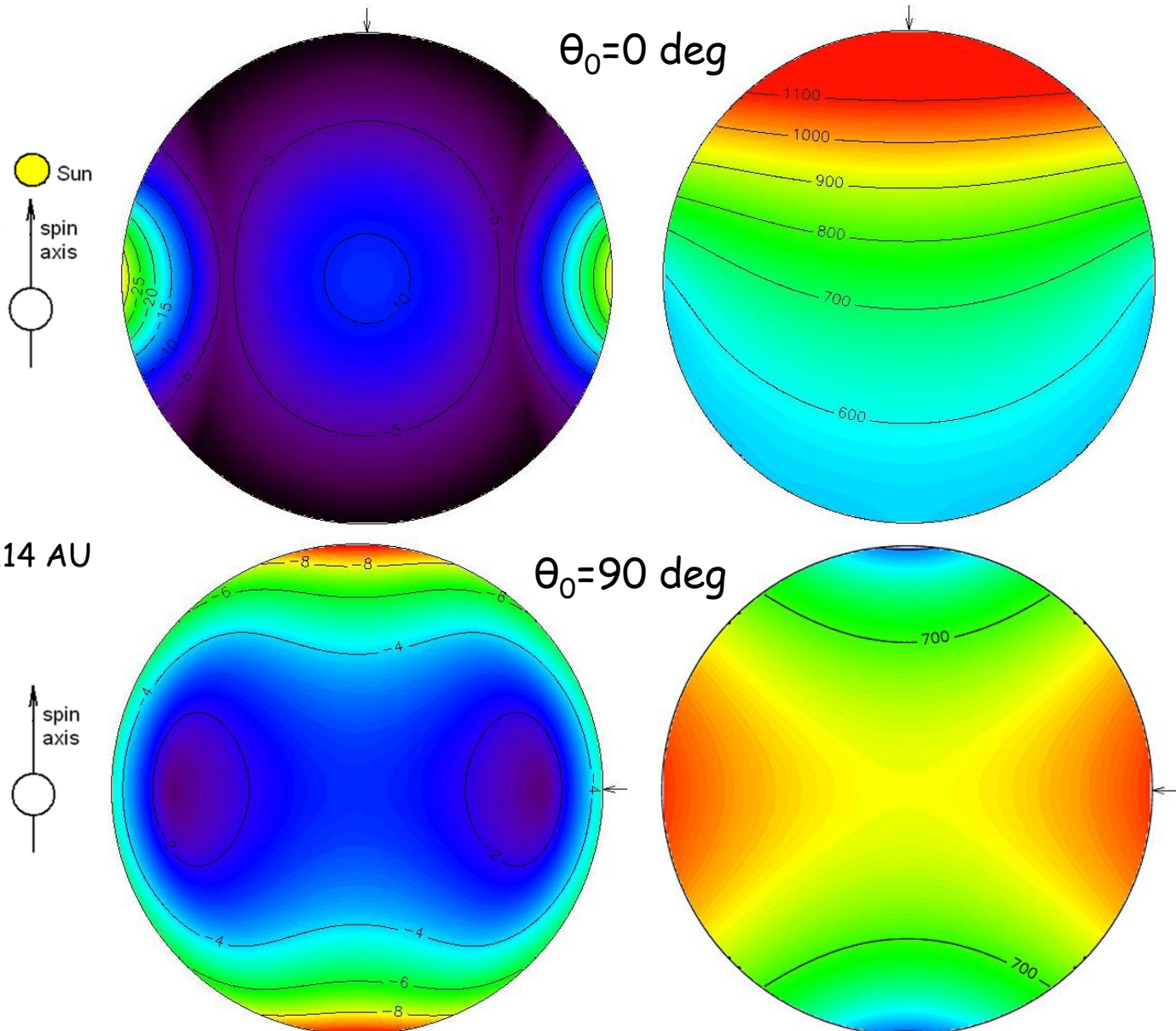
# Materiálové parametry - teplotní závislost

1. Obyčejný chondrit (Putulsk H5)
2. Uhlíkatý chondrit (Axtell CV3, Cold Bokkeveld CM2)



# Hlavní napětí $\tau_3$ (MPa) a teplota (K)- poledníkový řez

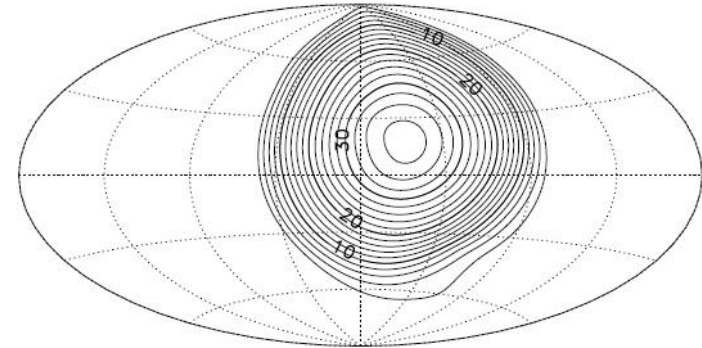
- uhlíkatý chondrit
- průměr 1 cm
- heliocentr. vzdálenost 0.14 AU



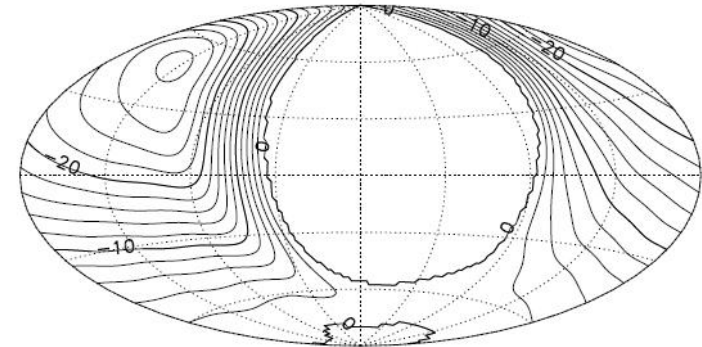
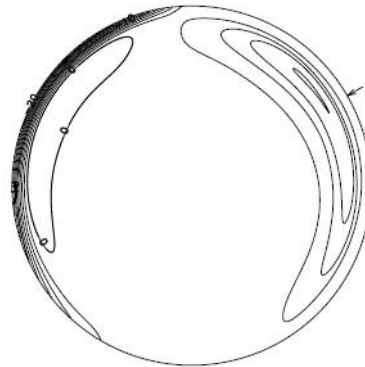
# Hlavní napětí a teplota - pomalu rotující meteoroid

- uhlíkatý chondrit
- velikost 1 cm
- $f = 0.1 \text{ Hz}$
- 0.14 AU

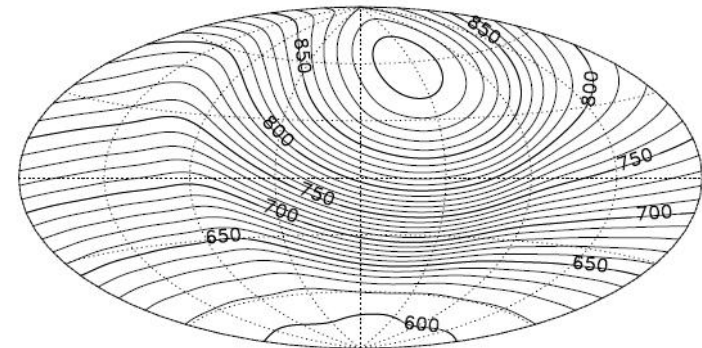
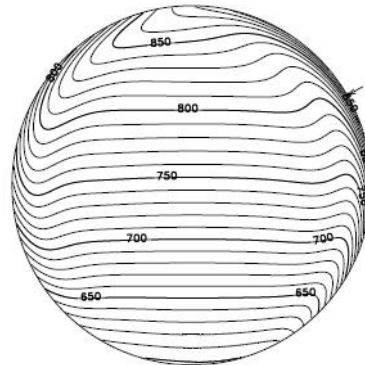
$T_1$   
(MPa)



$T_3$   
(MPa)

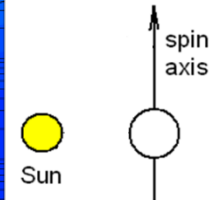
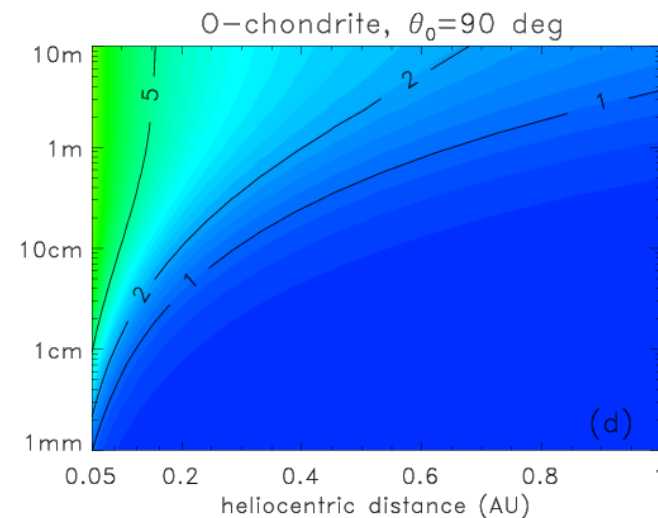
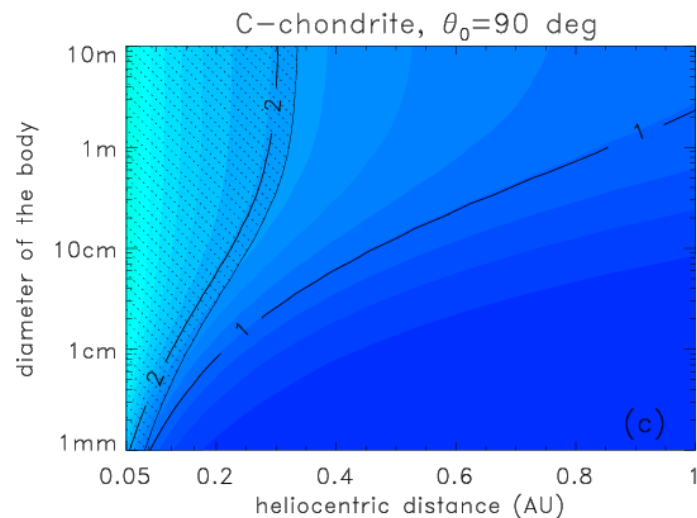
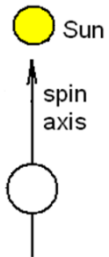
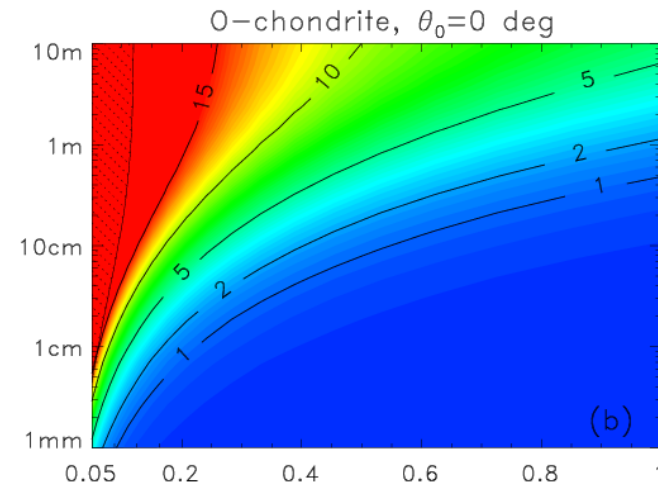
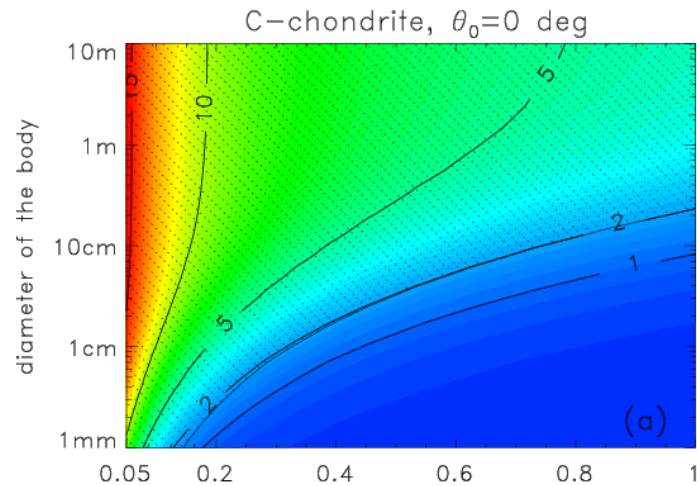


$T$   
(K)



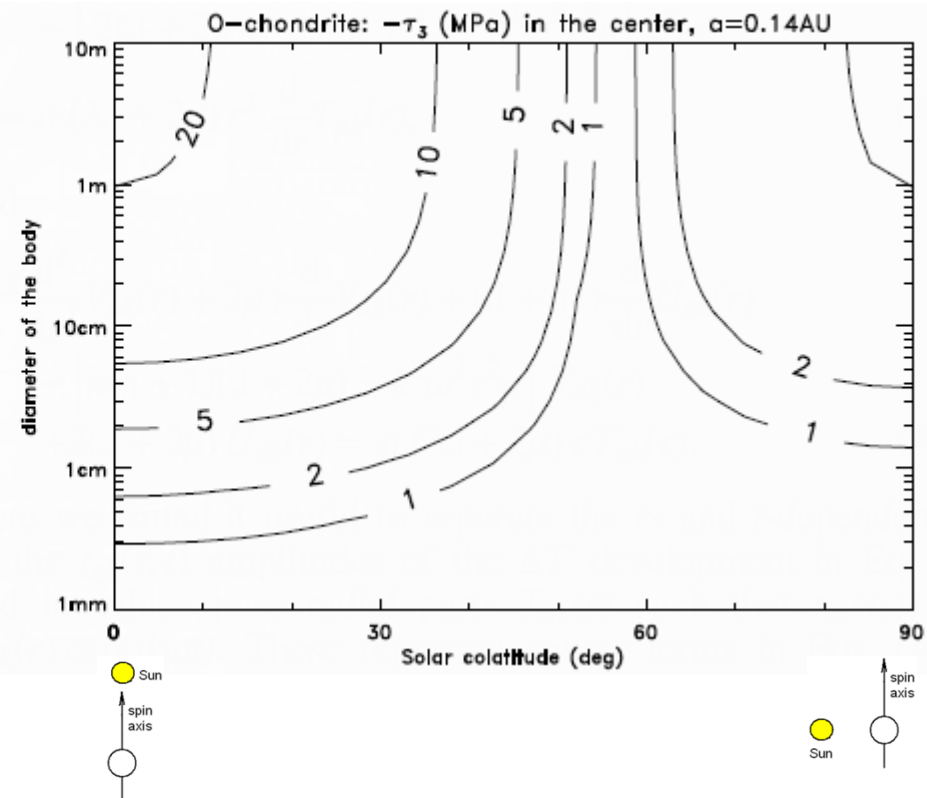
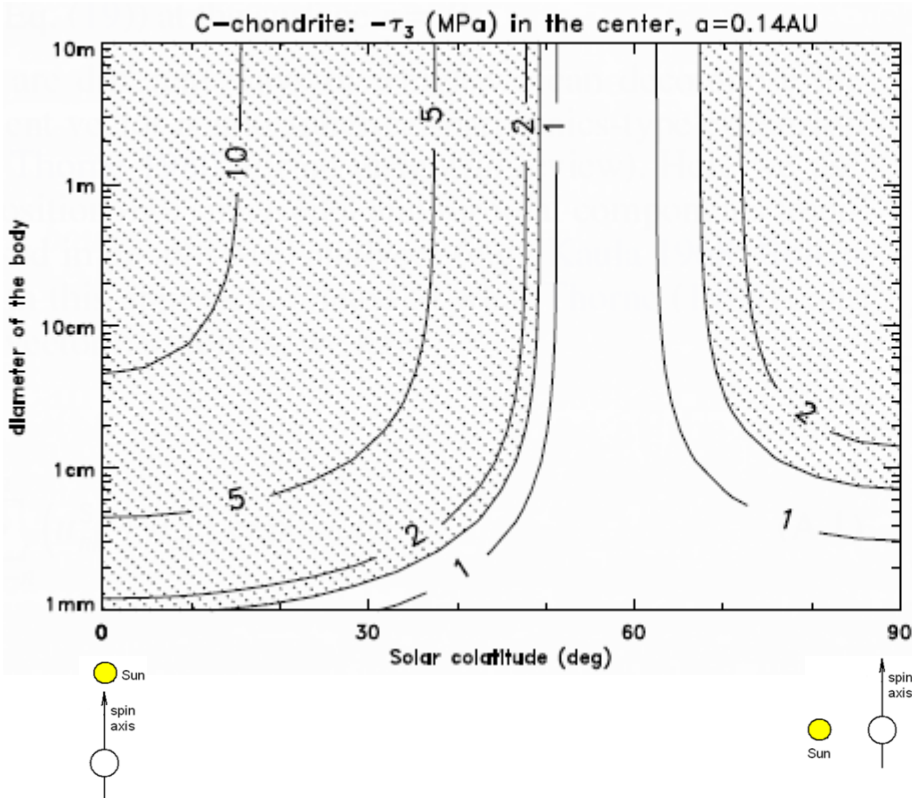
# Hlavní napětí $\tau_3$ (MPa) v centru homogenního meteoroidu (heliocentrická vzdálenost - průměr tělesa)

- $f(\text{Hz}) = 3 / D(\text{m})$
- dashed area - break-up due to thermal stress

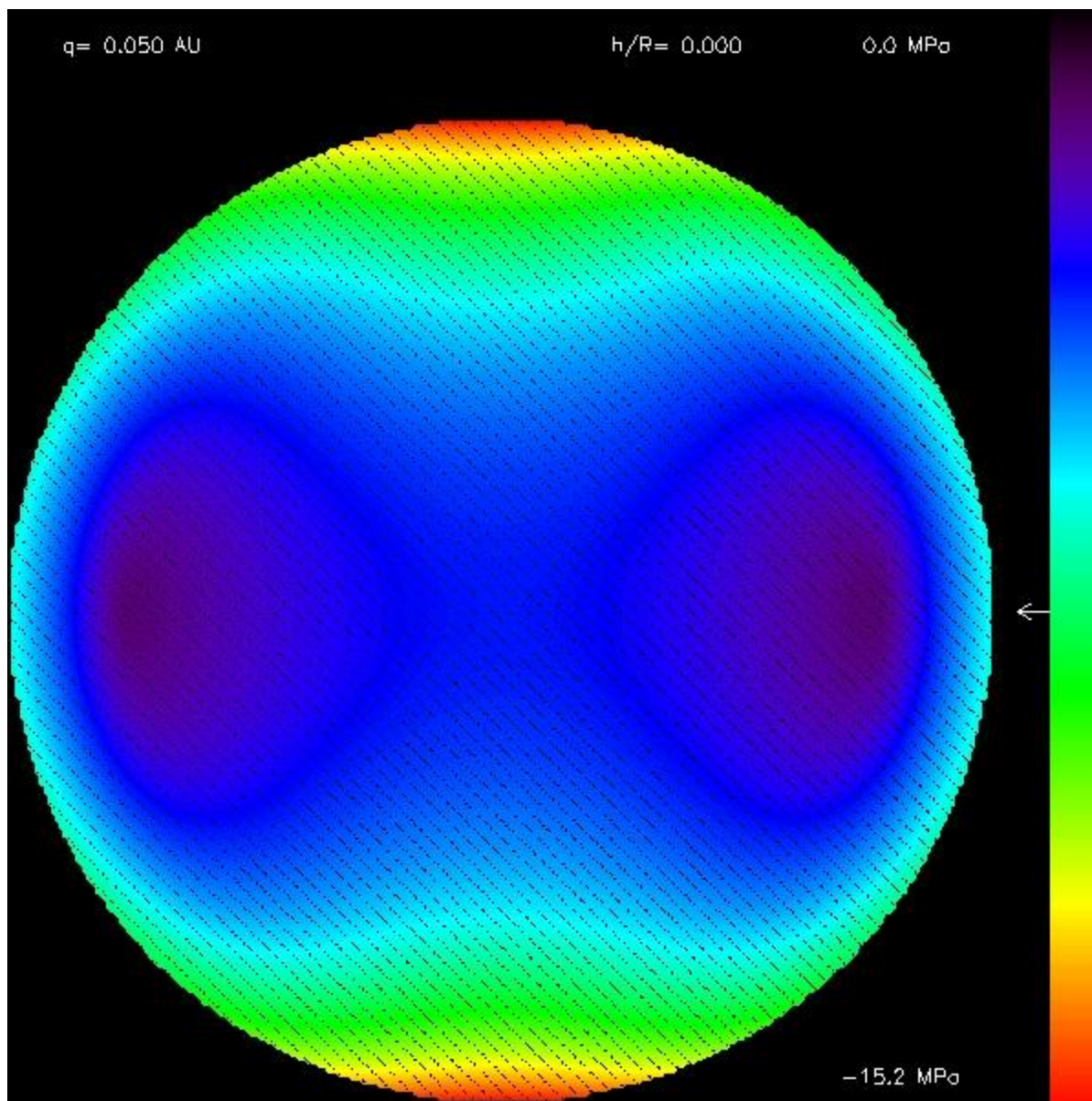


# Hlavní napětí $\tau_3$ (MPa) v centru homogenního meteoroidu (výška Slunce - průměr tělesa)

- $f(\text{Hz}) = 3 / D(\text{m})$
- 0.14 AU



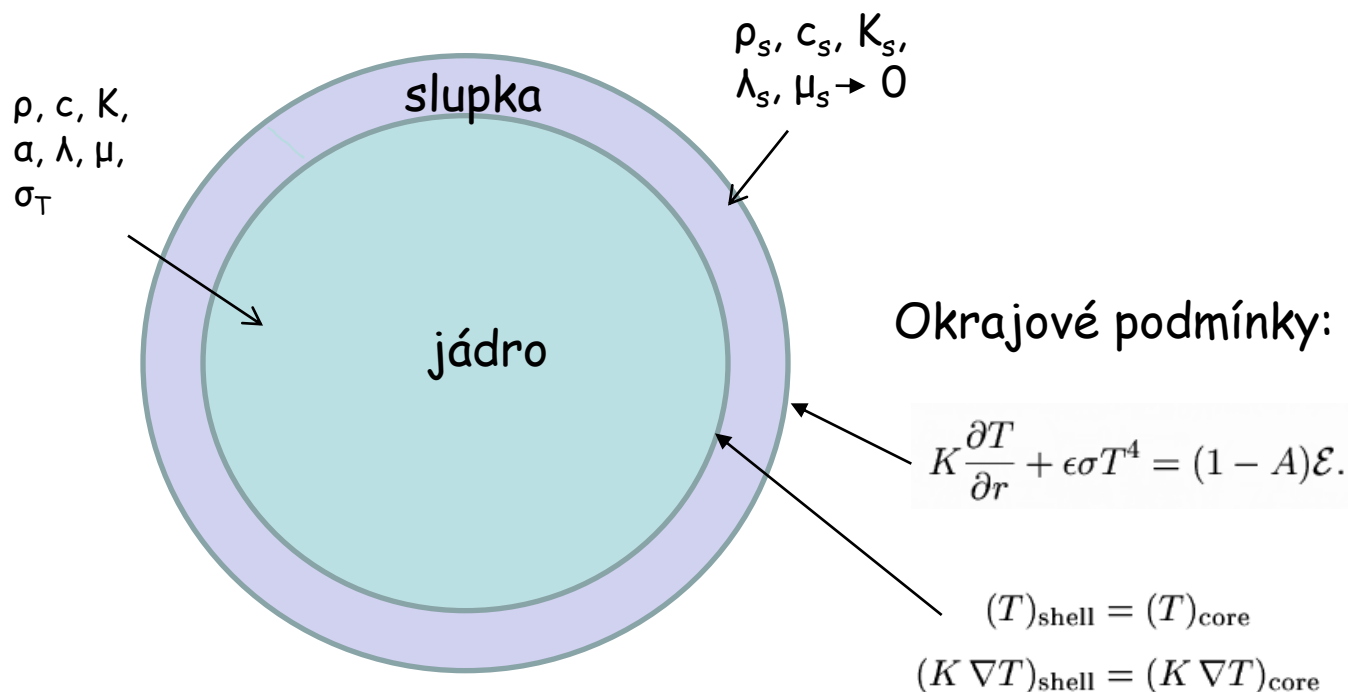
# Tepelné napětí a destrukce při pádu ke Slunci, $D=10\text{cm}$



# Meteoroid s monolitickým jádrem a rozpukaným povrchem

Jádro: - monolitické

Povrchová slupka: ~ regolit  
- nižší tep. vodivost  $K$   
- nulové napětí



$$T_{\text{surf}} \sim r^n, r^{-n}, j_n(z_k), y_n(z_k)$$

# $\tau_3$ (MPa) a $T$ (K) pro různé šířky povrchové vrstvy

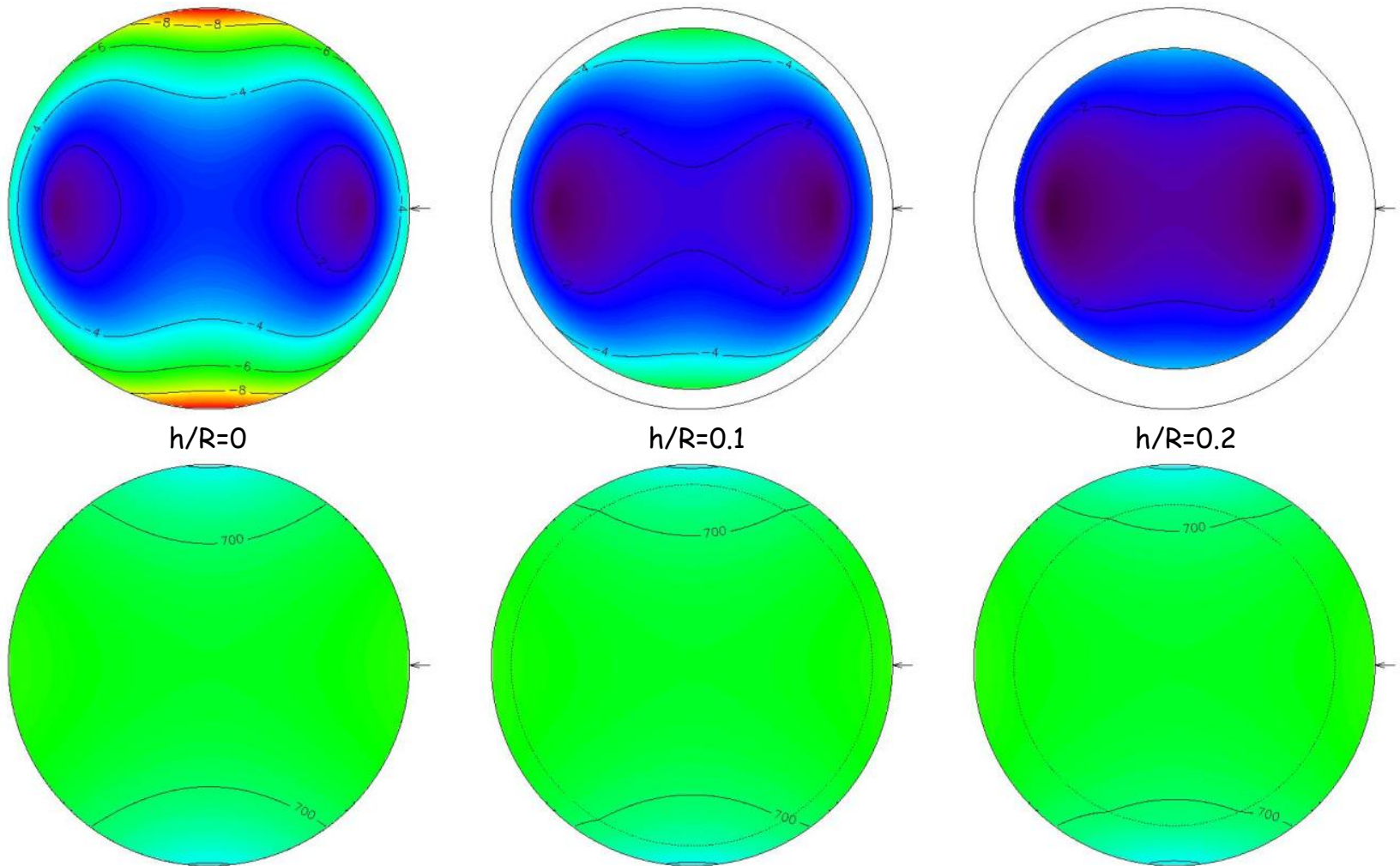
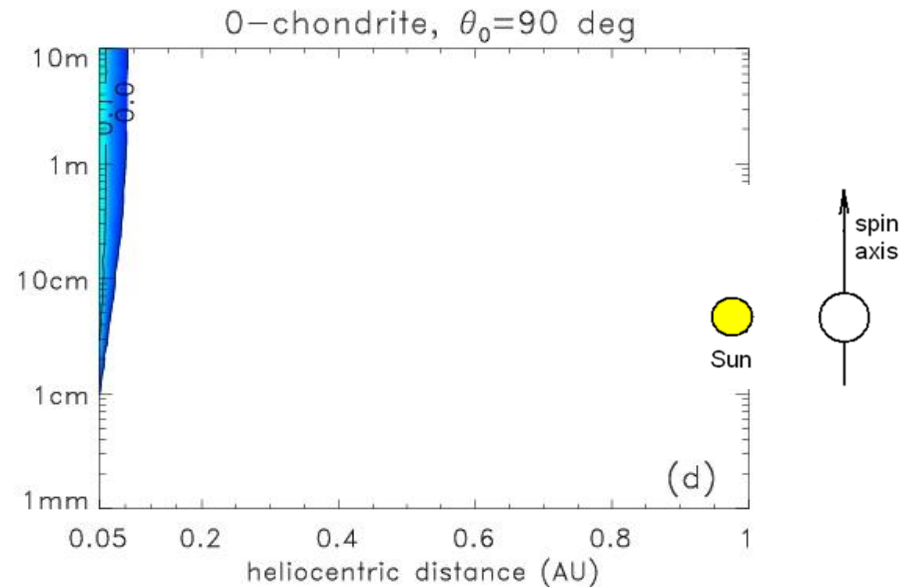
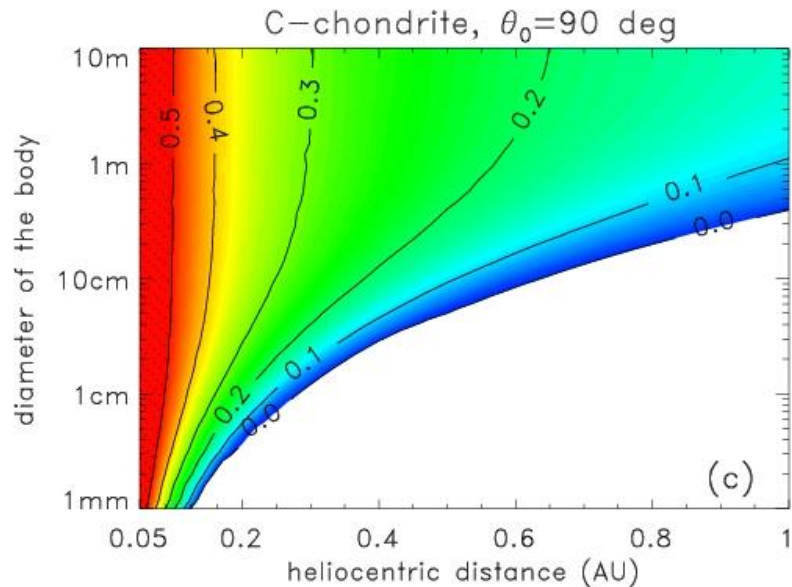
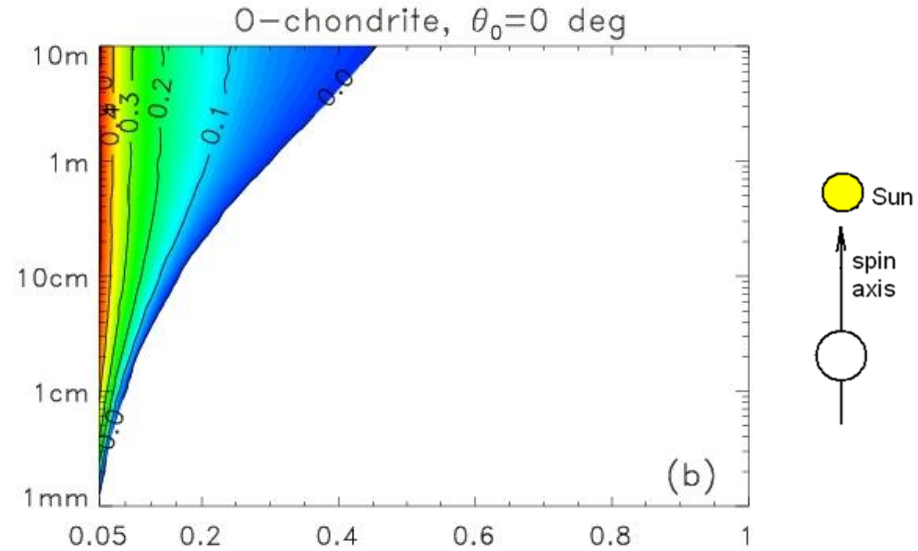
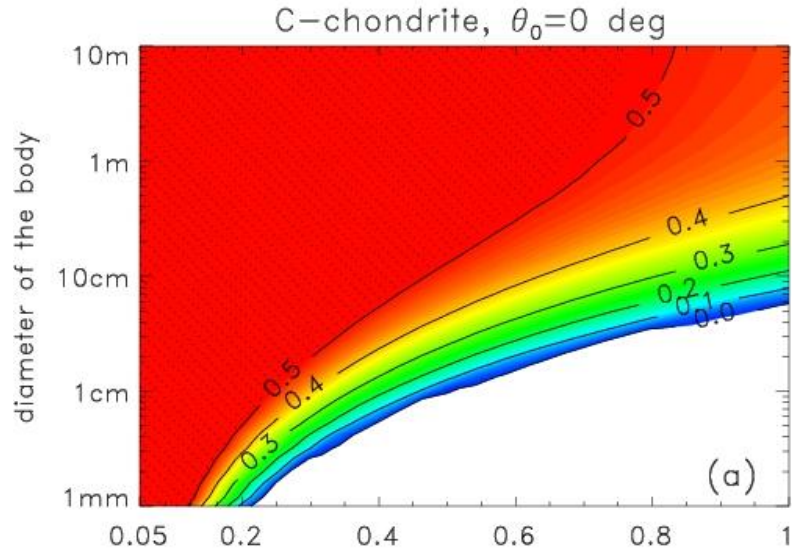
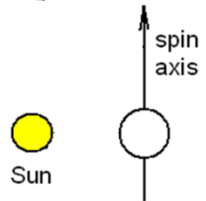
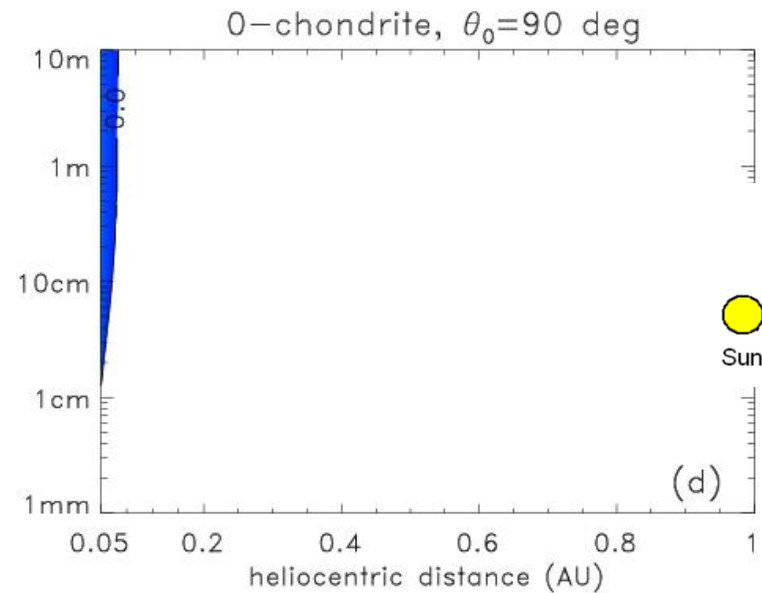
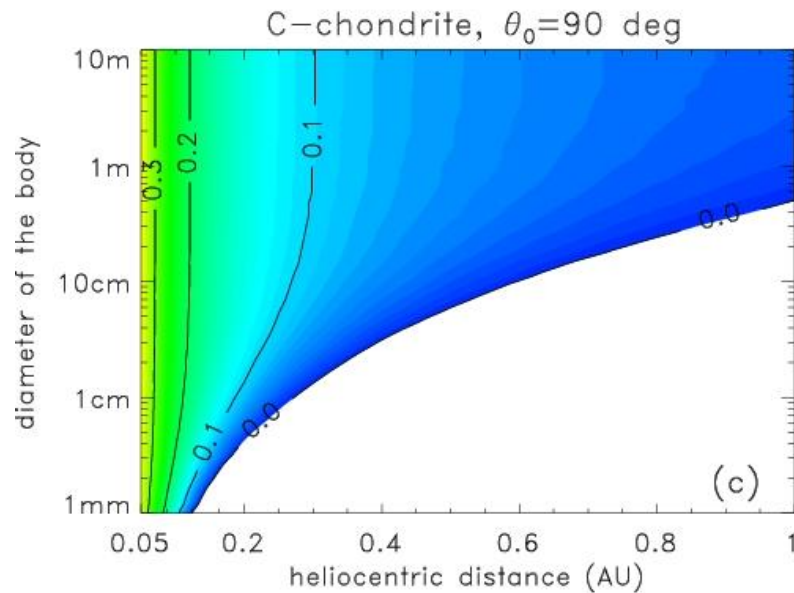
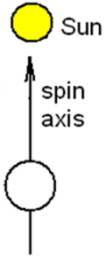
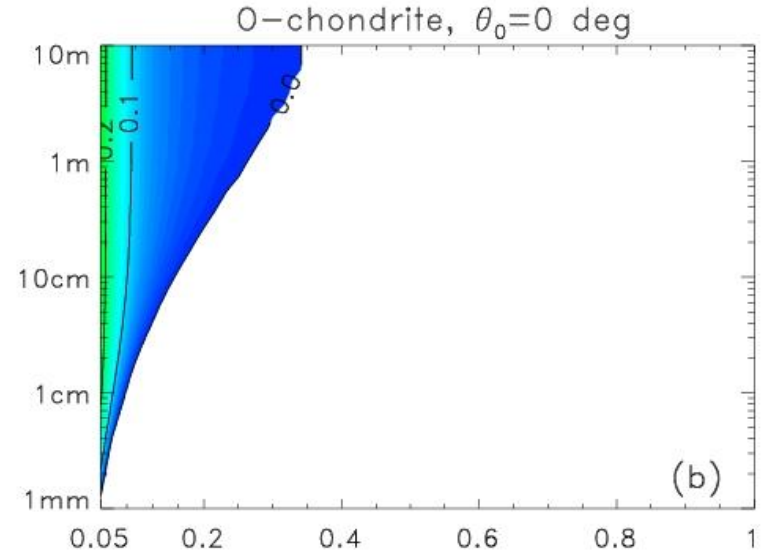
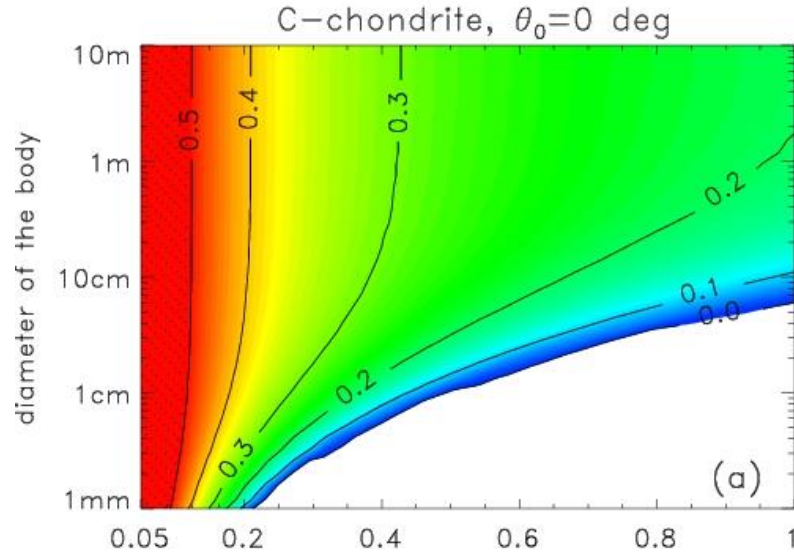


Figure 3:  $\tau_3$  (MPa) and  $T$  (K) for C-chondrite,  $D = 1$  cm,  $r=0.14$  AU,  $K_{\text{surf}}/K_{\text{core}} = 1/2$ ,  $\theta_0 = 90^\circ$

# Šířka povrchové vrstvy ( $h/R$ ) pro $K_{\text{surf}}/K_{\text{core}}=1/2$



# Šířka povrchové vrstvy ( $h/R$ ) pro $K_{\text{surf}}/K_{\text{core}}=1/10$



# Závěr a diskuse

- Destrukce malých meteoroidů v blízkosti Slunce
  - povrch i celý objem
  - větší, křehčí, pomalu rotující, s osou mířící ke Slunci

Možné implikace:

1. Rozdělení velikostí částic v proudech meteoroidů v závislosti na  $q$ ,...  
( $\delta$ -Aquaridy  $q = 0.07$ , Geminidy  $q = 0.14$ , Monocerotidy  $q = 0.19$ )
2. Rozdělení drah a velikostí těles v sporadické populaci
3. Změna materiálových vlastností meteoroidů
  - rozpukání, nižší efektivní pevnost (jedno z možných vysvětlení fragmentace bolidů při nízkých dynamických tlacích?)





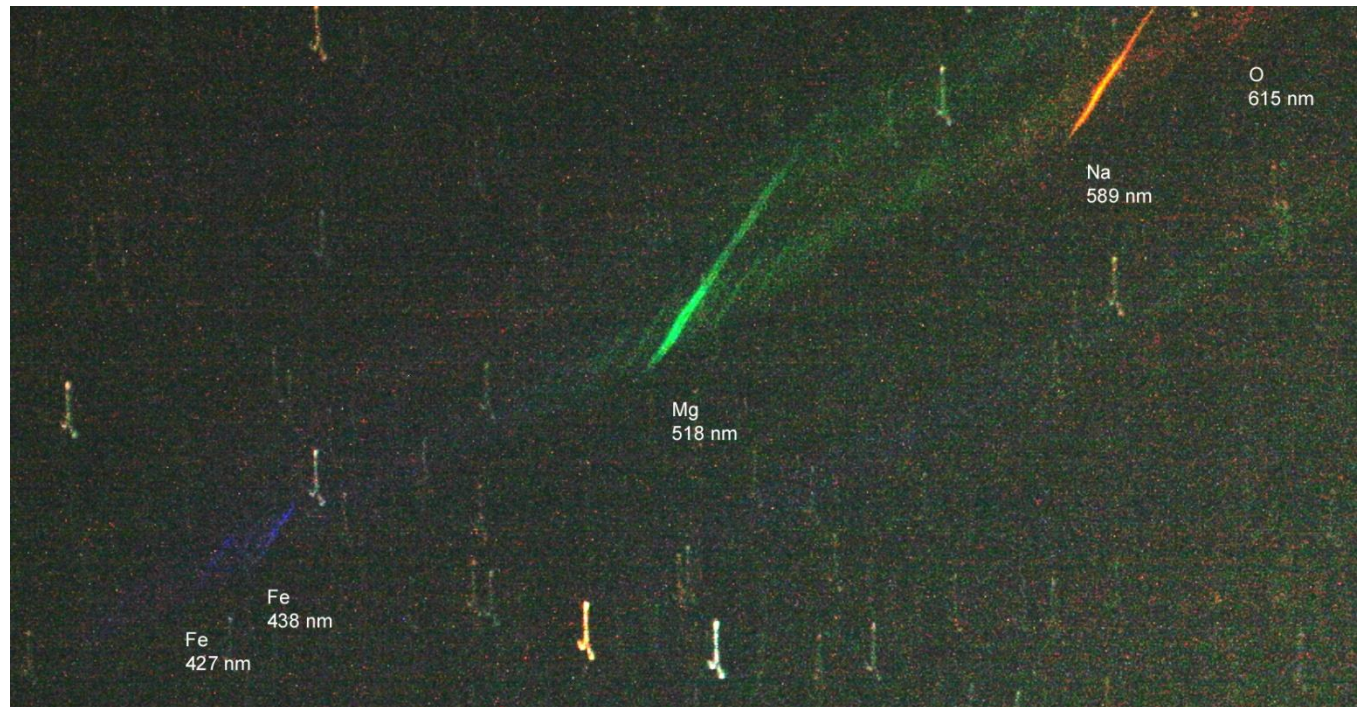
# Únik sodíku z meteoroidů v blízkosti Slunce

David Čapek a Jiří Borovička

Astronomický ústav AV, Ondřejov,

# Spektra meteorů

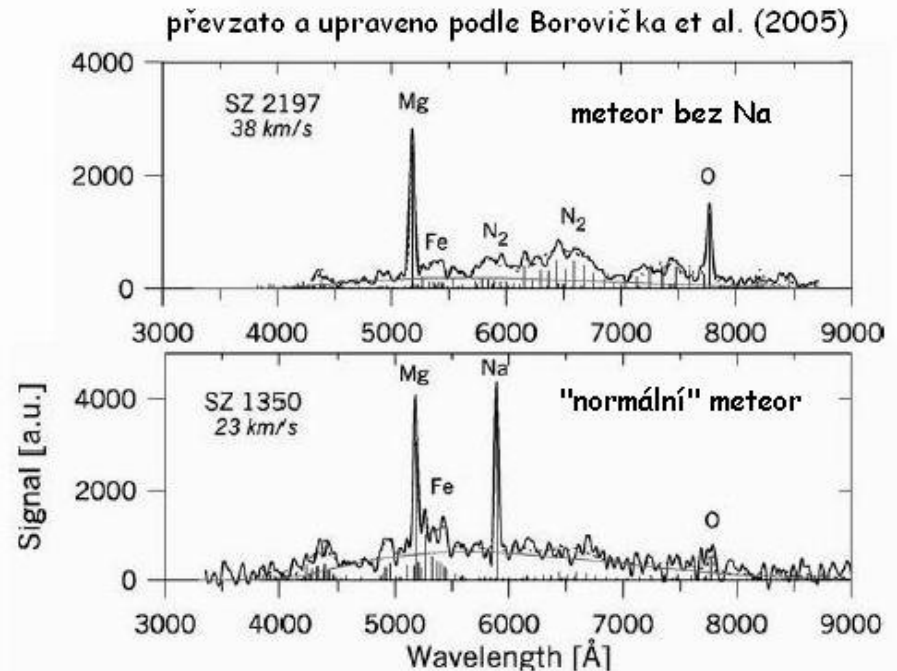
- Většina záření je v emisních čarách materiálu meteoroidu
- Nejjasnější čáry:
  - hořčík Mg
  - sodík Na
  - železo Fe



# Sporadické meteory ochuzené o Na

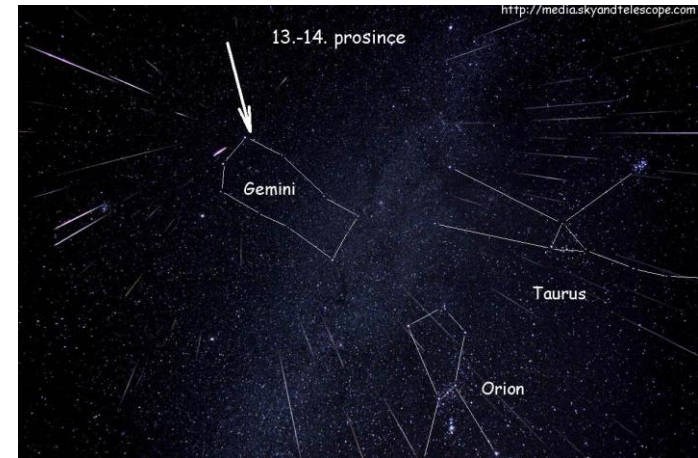
(Borovička, Koten, Spurný, Boček, Štork, (2005). Icarus 174... 97 spekter, ~1-10mm)

- jen čára Fe ~ Fe-meteoritům
  - ochuzení při magmatické diferenciaci
- dráhy typu Halleyovy komety
  - kosmické záření
- perihelium  $q < 0.2$  AU
  - ohřev v blízkosti Slunce



# Ochuzení meteoroidů z roje Geminid o Na

- Geminidy
  - perihelium 0,14AU
  - oběžná perioda 1,5 roku
  - pevnější materiál ()
  - hustota 2.5g/cm<sup>3</sup>
  - mateřské těleso: (3200) Phaethon
  - stáří ~ 2000 let



Borovička, (2006): 89 spekter, 1-15mm

- poměry intenzit čar Fe/Mg a Na/Mg
  - 2-10x nižší poměr intenzit Na/Mg vůči chondritickému složení
  - velký rozptyl poměrů intenzit Na/Mg
- vysvětlení:
  1. uvolňování meteoroidů po delší dobu
  2. z různých hloubek Phaethonu
  3. nehomogenita složení na mm škálách

# Tři otázky

- pro meteoroidy 1 mm - X cm:
1. Jaké procesy se podílí na úniku Na z *Geminid* a jsou tyto procesy schopné odstranit Na v pozorovaném množství?
  2. Jak vysvětlit pozorovaný rozptyl obsahu Na?
  3. Jaké ochuzení o Na i u jiných rojů a sporadických meteorů lze očekávat?

hypotéza: Únik spojený s ohřevem v blízkosti Slunce

- Teplota meteoroidu
- Struktura meteoroidu
- Procesy uvolňování Na

# Teplota

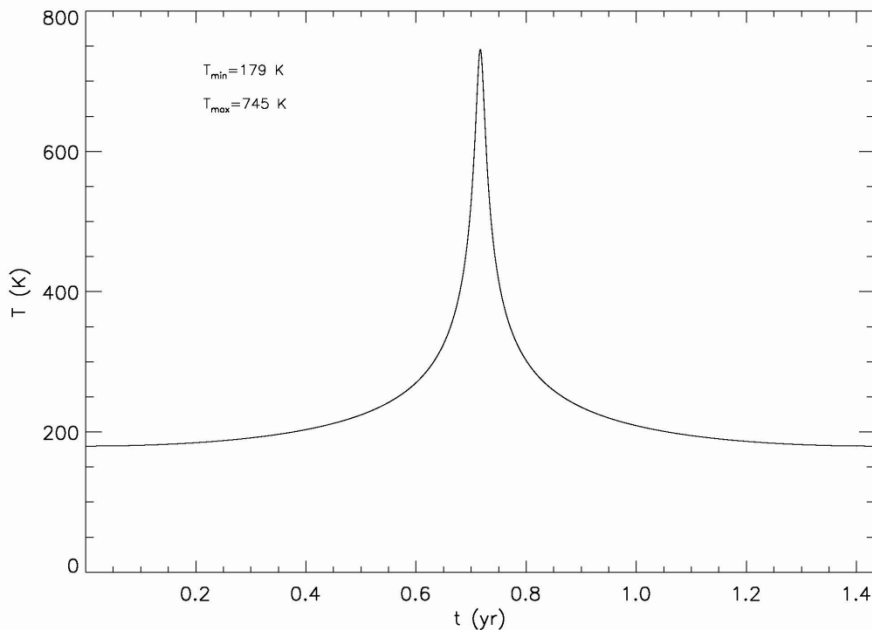
- Sféricky symetrický průběh teploty,  $\delta T \sim$  oběh okolo Slunce

$$\rho c \frac{\partial T}{\partial t} = K \left( \frac{2}{r} \frac{\partial T}{\partial r} + \frac{\partial^2 T}{\partial r^2} \right)$$

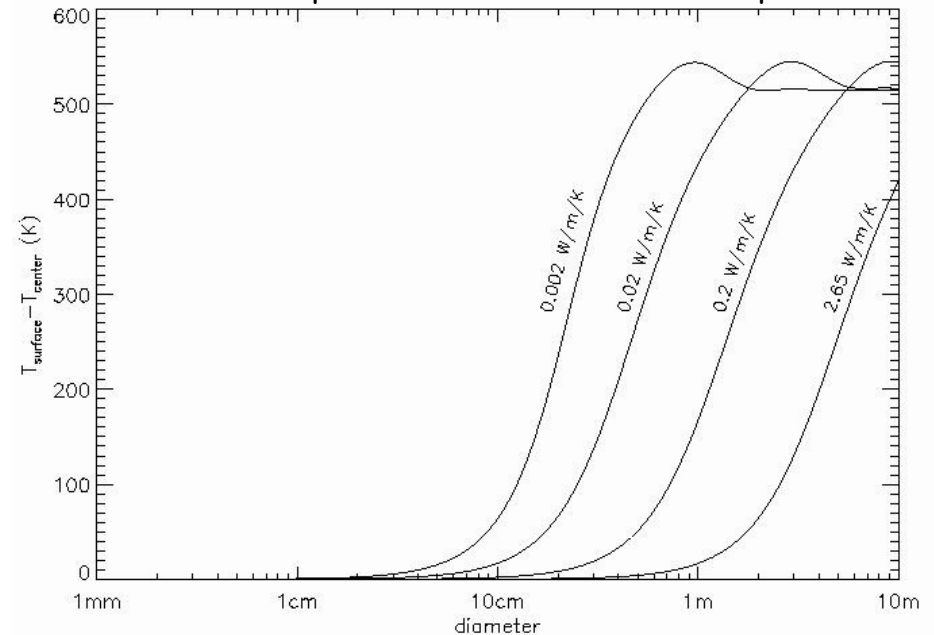
- teploty 179-745K
- tělesa <10cm jsou izotermální
- teplotu lze aproximovat takto:

$$T_{\text{surf}} = \left( \frac{(1 - A)\epsilon_0}{4\epsilon\sigma d^2} \right)^{1/4},$$

Teplota povrchu meteoroidu jako funkce času

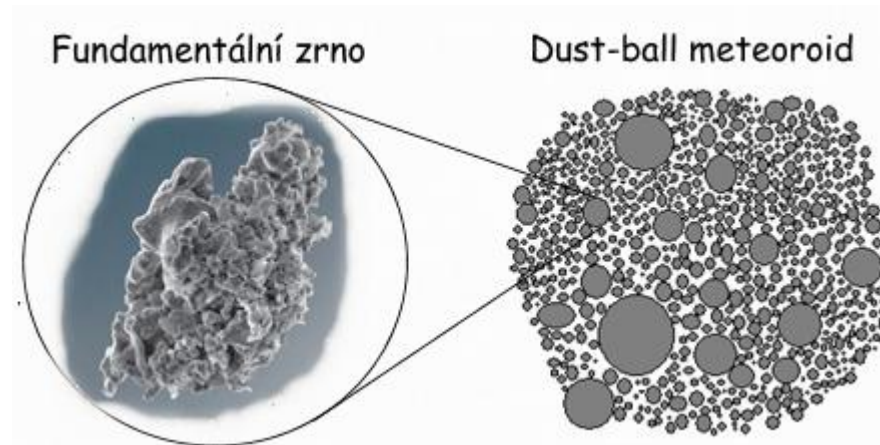


Rozdíl teplot meteoroidu v centru a na povrchu



# Struktura

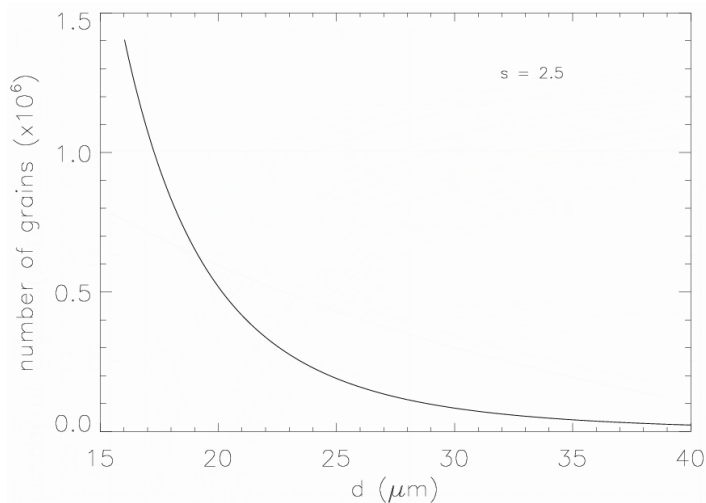
- Meteoroid - „prachová koule“, ale i hornina s hustou sítí trhlin
  - kompaktní fundamentální zrna
  - systém pórů komunikující s povrchem



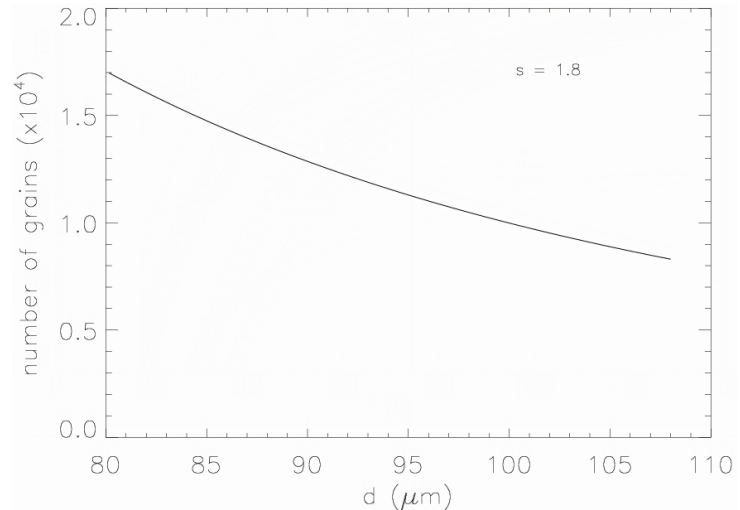
# Struktura

- rozdělení velikostí fundamentálních zrn - fitováním modelů eroze meteoroidů na jejich světelné křivky
- parametry  $d_{\min}$ ,  $d_{\max}$ ,  $s$   $dn \propto m^{-s} dm$ ,
- Drakonidy, Leonidy: 20-100  $\mu\text{m}$
- Geminidy, Kvadrantidy: 80-300  $\mu\text{m}$

„jemnozrnná“ struktura



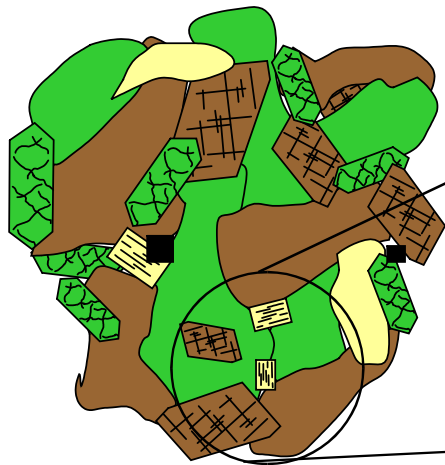
„hrubozrnná“ struktura



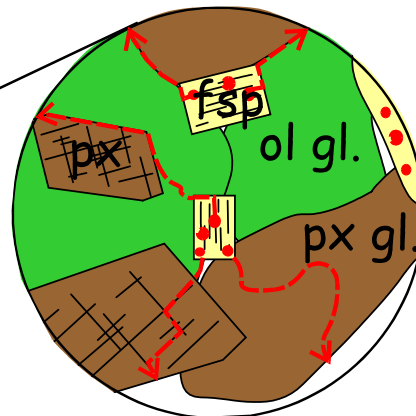
# Procesy úniku sodíku:

## 1. Difuze z nitra zrna na jeho povrch

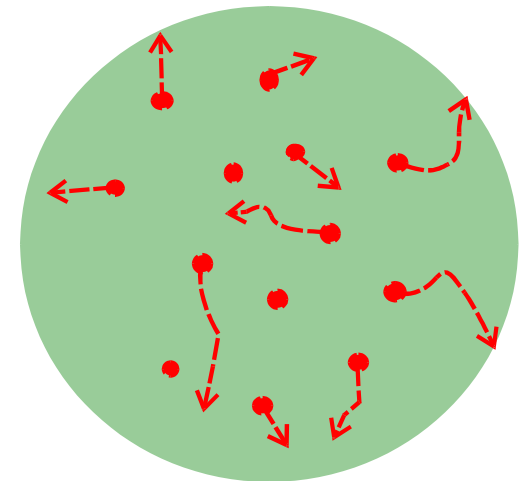
fundamentální zrno



reálná difuze sodíku



idealizované zrno a difuze



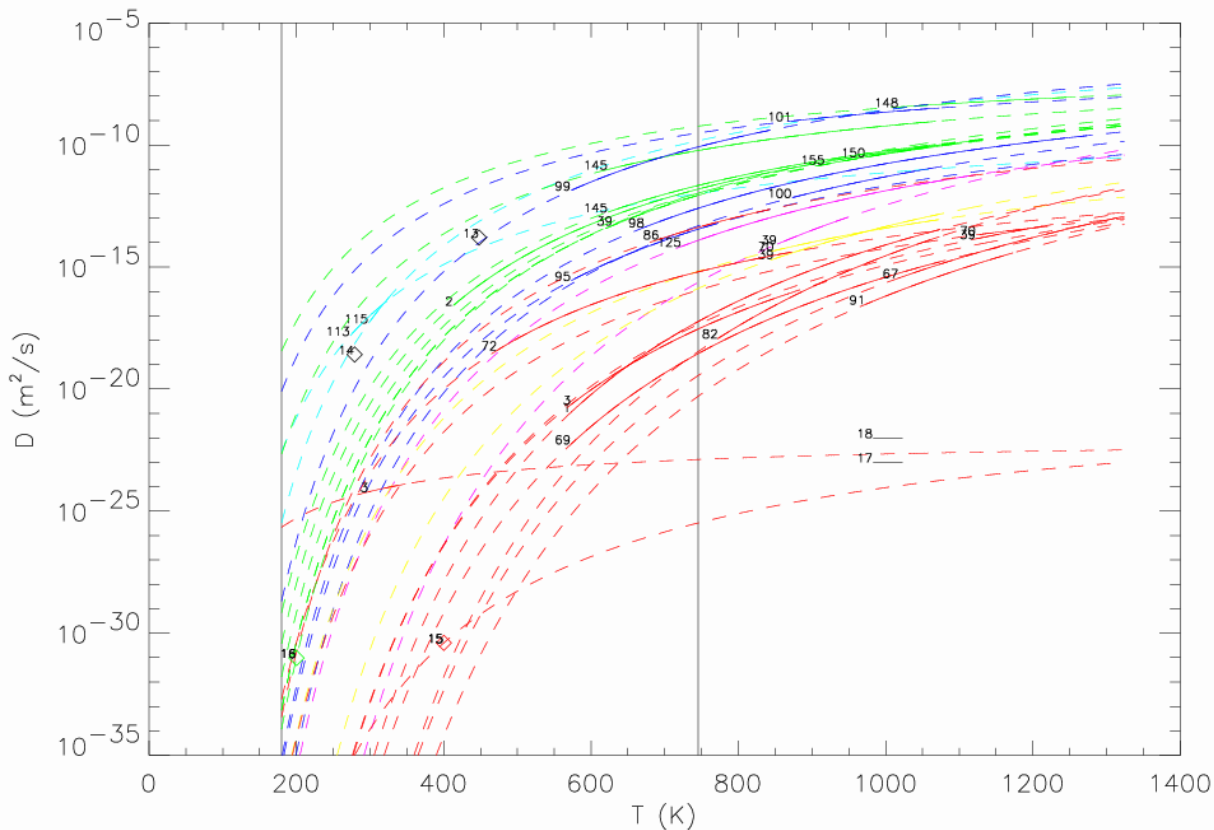
- Objemová difuze - přes xx mřížku, díky bodovým defektům (vysokoteplotní)
- Grain-boundary - podél hranic zrn a plošných defektů (nízkoteplotní)

- Difuzní rovnice: 
$$\frac{\partial C}{\partial t} = D\Delta C.$$

# Procesy úniku sodíku:

## 1. Difuze z nitra zrna na jeho povrch

### Difuze sodíku v pozemských materiálech

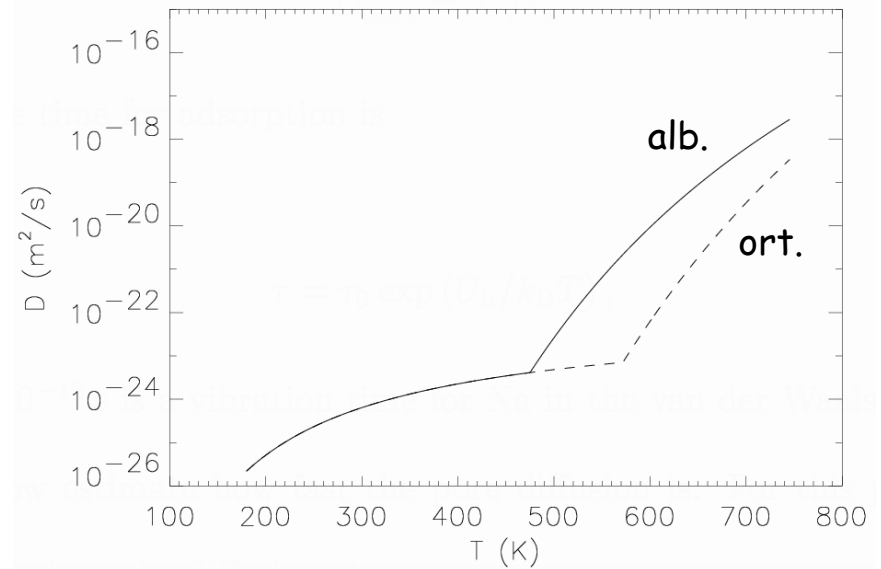
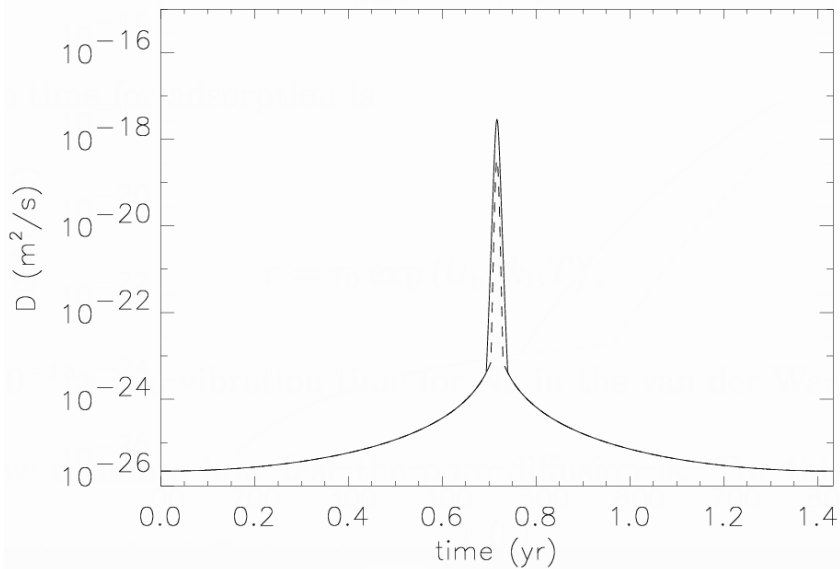


$D_0$ (m <sup>2</sup> /s)	Q (kJ/mol)	$T_{\min}$ (K)	$T_{\max}$ (K)	$D_{\text{char}}$ (m <sup>2</sup> /s)	reference
analcite NaAlSi <sub>2</sub> O <sub>6</sub> ·H <sub>2</sub> O					
$1.4 \times 10^{-5}$	71.	298	326	$1.1 \times 10^{-12}$	115
$2.35 \times 10^{-9}$	48.	273	323	$9.7 \times 10^{-15}$	113
rhyolitic, albitic, orthoclasic and basaltic glasses and obsidians					
$1.29 \times 10^{-6}$	84.5	413	1123	$1.0 \times 10^{-14}$	Jambon (1982)
$5.30 \times 10^{-7}$	56.4	623	1068	$5.0 \times 10^{-13}$	145
$8.00 \times 10^{-7}$	79.4	623	1068	$1.5 \times 10^{-14}$	145
$5.00 \times 10^{-7}$	41.8	1018	1258	$6.2 \times 10^{-12}$	148
$4.40 \times 10^{-6}$	95.7	630	758	$5.3 \times 10^{-15}$	39
$2.11 \times 10^{-6}$	89.9	918	1103	$6.7 \times 10^{-15}$	155
$4.40 \times 10^{-6}$	95.7	973	1073	$5.3 \times 10^{-15}$	150
quartz SiO <sub>2</sub>					
$3.6 \times 10^{-7}$	100.	573	773	$2.1 \times 10^{-16}$	95
$3.8 \times 10^{-6}$	102.4	673	1273	$1.5 \times 10^{-15}$	98
$6.8 \times 10^{-5}$	84.4	573	843	$5.5 \times 10^{-13}$	99
$4.0 \times 10^{-6}$	113.	873	1063	$2.7 \times 10^{-16}$	100
$7.1 \times 10^{-7}$	48.	873	1073	$2.9 \times 10^{-12}$	101
sodalite Na <sub>8</sub> (Al <sub>6</sub> Si <sub>6</sub> O <sub>24</sub> )Cl <sub>2</sub>					
$6.6 \times 10^{-4}$	177.7	853	948	$1.0 \times 10^{-18}$	39
$1.2 \times 10^{-6}$	114	723	1123	$6.8 \times 10^{-17}$	125
nepheline NaAlSi <sub>3</sub> O <sub>8</sub>					
$1.2 \times 10^{-6}$	142.1	849	1073	$6.4 \times 10^{-19}$	39
$6.0 \times 10^{-9}$	99.3	849	1073	$3.9 \times 10^{-18}$	70
albite NaAlSi <sub>3</sub> O <sub>8</sub>					
$1.25 \times 10^{-5}$	176.	573	1073	$2.5 \times 10^{-20}$	Yund (1983)
$1.22 \times 10^{-7}$	149.	1123	1213	$2.1 \times 10^{-20}$	39
$2.31 \times 10^{-10}$	79.4	473	873	$4.3 \times 10^{-18}$	72
$5.70 \times 10^{-7}$	175.6	573	1073	$1.2 \times 10^{-21}$	69
$1.0 \times 10^{-22}$	12.6	298	348	$4.8 \times 10^{-25}$	Bailey (1971)
$5.3 \times 10^{-8}$	146.5	573	868	$1.4 \times 10^{-20}$	Bailey (1971)
$6.0 \times 10^{-10}$	96.0	1123	1213	$6.8 \times 10^{-19}$	70
orthoclase KAlSi <sub>3</sub> O <sub>8</sub>					
$8.90 \times 10^{-4}$	220.0	773	1073	$1.3 \times 10^{-21}$	Foland (1974)
$3.0 \times 10^{-5}$	213.0	1018	1324	$1.4 \times 10^{-22}$	67

# Procesy úniku sodíku:

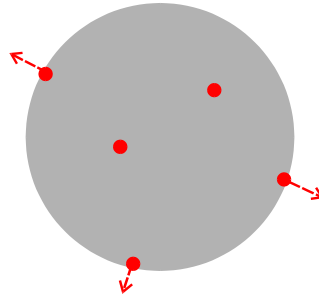
## 1. Difuze z nitra zrna na jeho povrch

Difuze probíhá pouze v okolí perihelu, pak „zamrzá“



## Procesy úniku sodíku:

### 2. Tepelná desorpce z povrchu zrna do systému pórů



- Atom Na na povrchu obdrží dostatečnou energii k uvolnění z mřížky prostřednictvím tepelných vibrací sousedních atomů
- Rychlost desorpce (tok) Na atomů:

$$R_{\text{vap}} = c_{\text{surf}} \sigma v_0 \exp(-U/kT),$$

$v_0 = 10^{13}$  Hz,  $U = 1.85$  eV (Yakshinskiy et al., 2000),  $\sigma = 1,9 \times 10^{19}$  atomů/m<sup>2</sup>,

- Okrajová podmínka na povrchu zrna:
  1.  $D\nabla C_{\text{surf}} = -R_{\text{vap}}$ ... „Fourierova okrajová podmínka“
  2.  $C_{\text{surf}} = 0$  ...tepelná desorpce je okamžitá!

# Procesy úniku sodíku:

## 3. Difuze systémem pórů a únik do prostoru

- Popis difuzní rovnici, difuzní koeficient:

$$D_{\text{pore}} = \lambda^2 / \tau,$$

- Pomalejší v jemnozrných meteoroidech,

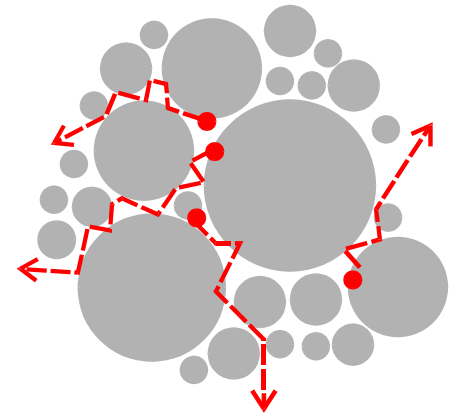
- Difuze Na v **zrnech**, nebo v **pórech**?

- V pórech:  $p = 3\%$ ,  $d_{\text{grain}} = 18\mu\text{m}$ ,  $\lambda = 6\mu\text{m}$

$\phi$ meteoroidu	10cm	1cm	1mm
$t_{\text{dif}}$ (s)	$10^9$	$10^7$	$10^5$

- V zrnech:  $18\mu\text{m}$  albit. zrno...  $t_{\text{dif}} = 10^9$  s

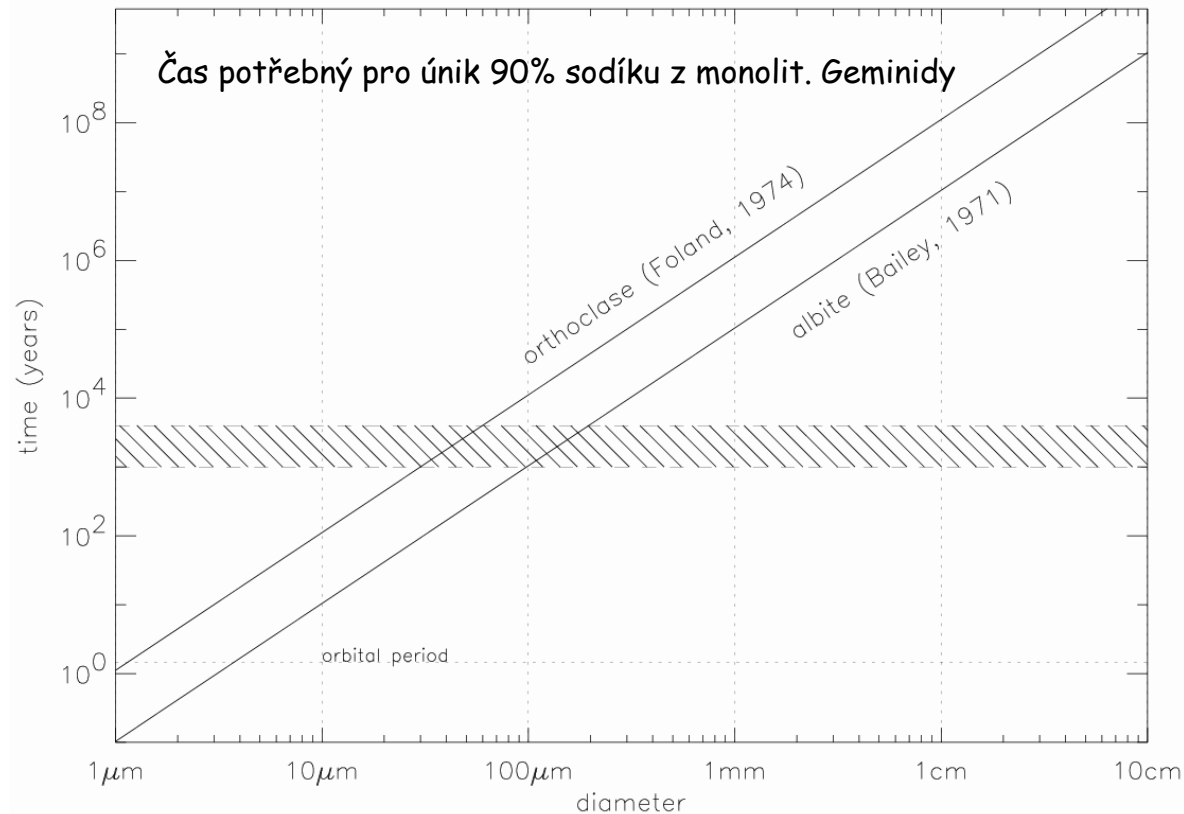
- Geminidy < 10cm... čas pro difuzi v pórech  $\ll$  difuzní čas pro zrna



Difuze v pórech je „okamžitá“

# Geminidy - monolitická tělesa?

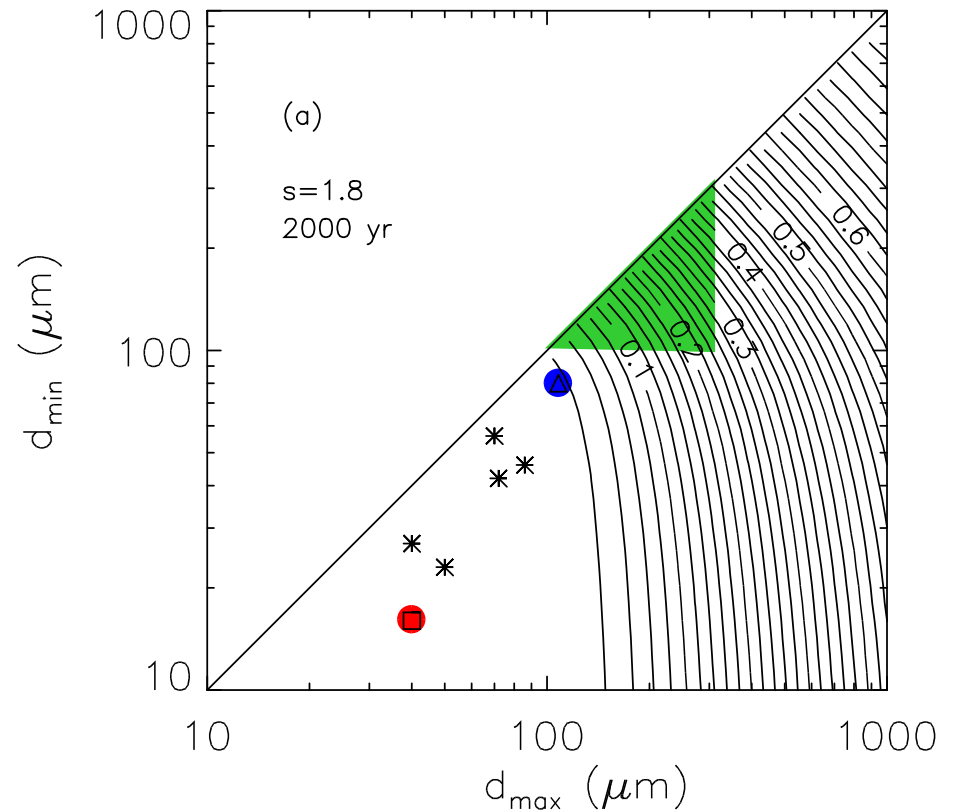
- Únik 90% z původního obsahu Na je možný pro
  - ortoklas:  $\phi d < 30\text{-}60 \mu\text{m}$
  - albit:  $\phi d < 100\text{-}200 \mu\text{m}$
- Podstatný únik Na pro těleso  $\sim \text{mm-cm... NE!}$



# Geminidy - prachové koule

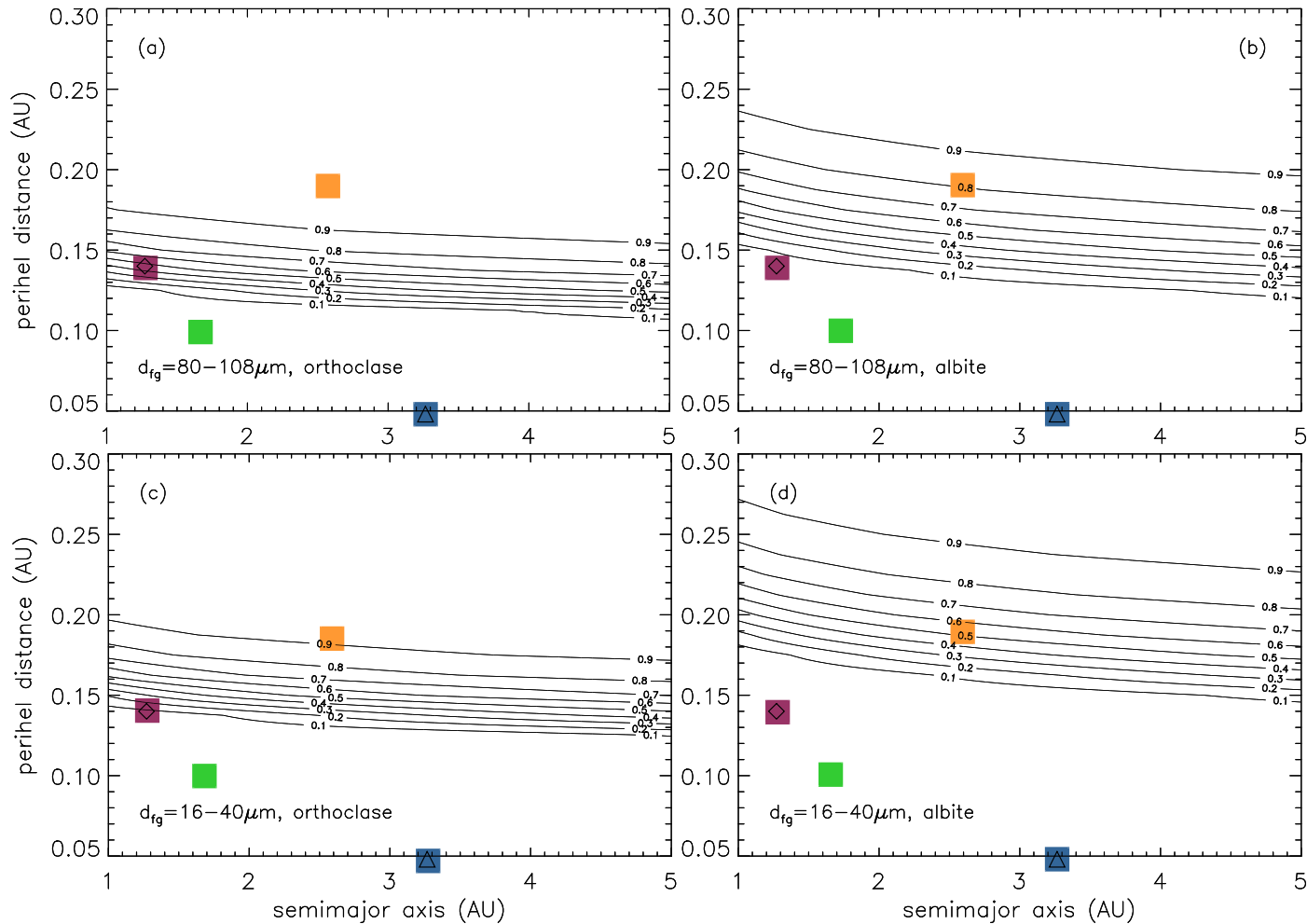
- Pro rychlejší difuzi (albit)
- Stáří 2000 let
- Zrnitost Drakonid (16-108  $\mu\text{m}$ ):
  - Téměř bez Na
- Zrnitosti Gem. (100-300  $\mu\text{m}$ ):
  - $C(t)/C(0)$  odpovídá pozorování

Poměr obsahu Na / počáteční hodnotě (ALBIT)



# Jiné roje

Obsah Na pro stáří 2000 let - závislost na  $q$  a  $a$

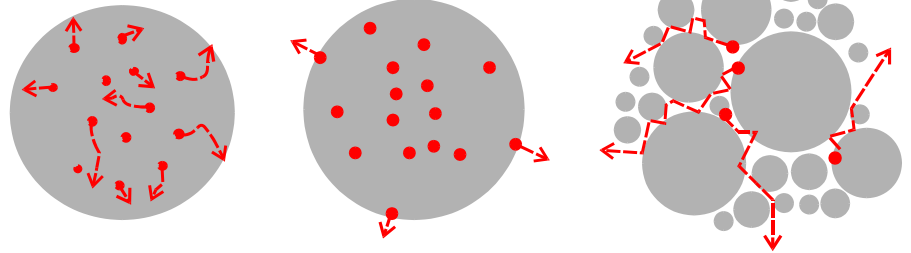


Geminidy  
 $\iota$ -Aquaridy  
 $\delta$ -Aquaridy  
den. Arietidy

# Závěr

## 1. Procesy vedoucí k ochuzení Geminid o Na:

- difuze z fundamentálních zrn
- tepelná desorpce z povrchu zrn
- difuze systémem pórů meteoroidu



- 2000 let, 100-300  $\mu\text{m}$ ,  $D \sim \text{albitu} \dots$  obsah Na - konzistentní s pozorováním

## 2. Variace obsahu Na u Geminid $\sim$ různé zrnitosti jednotlivých meteoroidů.

## 3. Ztrátu Na lze očekávat u meteoroidů, které mají:

- $\downarrow q$  (vysoká teplota),
- $\downarrow a$  (vysoká frekvence návratů),
- $\uparrow$  stáří
- $\downarrow$  zrnitosti (rozdělení velikostí fundamentálních zrn)
- složení (difuzní model)
- nezávisí na velikosti meteoroidu ( $< \sim 10\text{cm}$ )

## Otázky do testu - příklady

- Ve kterém typu meteoritů budou nejlépe patrné chondry?  
a) LL5                      b) H3                      c) L6
- Widmanstättenovy obrazce se objevují v  
a) oktaedritech              b) hexaedritech              c) ataxitech
- Eucrity patří mezi  
a) nediferencované meteority      b) primitivní achondry      c) diferencované achondry
- Jmenujte dva hlavní minerály železných meteoritů
- Měření obsahu prvků vzniklých interakcí kosmického záření s materiálem meteoritu lze určit:  
a) stáří meteoritu                      b) preatmosferickou velikost meteoroidu
- Který prvek **nelze** použít pro určování stáří meteoritů?  
a)  $^{14}\text{C}$       b)  $^{87}\text{Sr}$       c)  $^{187}\text{Os}$
- Běžné meteority dopadají na zemský povrch zpravidla rychlostmi  
a)  $<10\text{m/s}$       c)  $10\text{-}100\text{m/s}$       d)  $100\text{-}1000\text{m/s}$       e)  $>1000\text{m/s}$
- Jak se označuje část trajektorie meteoroidu v ovzduší po skončení ablace?
- Ochuzení meteoroidů s malým perihelem o sodík je způsobeno  
a) vysokou teplotou      b) kosmickým zářením